

# 东亚冬季气温异常冷暖反转模态的非对称特征及其维持机 制

李乔<sup>1</sup>, 刘伯奇<sup>1\*</sup>

4 1 中国气象科学研究院灾害天气科学与技术全国重点实验室, 北京 100081

摘要 东亚地区气温异常的冷暖反转是全球变暖背景下冬季最重要的气候现象之一。和冬季平均气温异常相比，冷暖反转现象的气候预测不确定性更大，其造成的影响也更为重大。本文基于 1980/81–2022/23 年冬季大气再分析资料，利用季节经验正交分解和合成分析方法，分析了东亚冬季气温冷暖反转模态的年际变化特征。结果表明，虽然东亚冬季气温冷暖反转模态的不同过程都与西伯利亚高压、欧亚大气遥相关和北极极涡异常的季节内相互作用有关，但“暖转冷”过程的年际变率明显强于“冷转暖”过程，说明冷暖反转模态的年际变化存在明显的非对称性。在“暖转冷”过程中，前冬类似东大西洋/西俄罗斯型的大气遥相关正位相在后冬转为负位相，西伯利亚高压随之逐渐增强，后冬东亚地区冷空气更为活跃。而在“冷转暖”过程中，冬季北极极涡强度由弱变强，西伯利亚高压随之由强变弱，有利于东亚地区出现前冬冷、后冬暖的温度异常特征。进一步分析表明，冬季 La Niña 背景下的北大西洋和热带印度洋海温异常是“暖转冷”过程的可能影响因子，而秋末巴伦支-喀拉海海冰异常偏少则是“冷转暖”过程的潜在前兆信号，说明大气下垫面外强迫差异是造成东亚冬季冷暖反转模态不同过程强度不对称的重要原因。因此，东亚冬季冷暖反转现象的气候预测需要考虑不同大气下垫面外强迫影响的多样性。

关键词：东亚冬季风 气温异常 冷暖季节内反转 年际变化 非对称性

22 文章编号: 2024041C

23 doi: 10.3878/j.issn.1006-9895.2000.19000

收稿日期：2025-03-03； 网络预出版日期：

第一作者: 李乔, 硕士研究生, 主要从事东亚冬季极端气温事件的机理研究。E-mail: liqiao224@163.com

通讯作者：刘伯奇，研究员，主要从事东亚季风气候动力学和次季节预测研究。E-mail: liubq@cma.gov.cn

项目资助：国家自然科学基金项目（U2242205、42375033）、中国气象科学研究院科技发展基金项目（2023KJ036）、基本科研业务费项目（2023Z018）和气象能力提升联合研究专项（24NLTSZ001）

26 **Asymmetric Characteristics and Maintenance Mechanisms of**  
27 **the East Asian Winter Temperature Anomaly Reversal Mode**

28 Li Qiao<sup>1</sup>, Liu Boqi<sup>1</sup>

29 *1 State Key Laboratory of Severe Weather Meteorological Science and Technology (LaSW), Chinese Academy of Meteorological*

30 *Sciences (CAMS), Beijing 100081*

31 **Abstract**

32 The reversal of temperature anomalies from warm to cold and vice versa in the  
33 East Asian region is one of the most significant climatic phenomena during the winter  
34 season under the context of global warming. Compared to the variability of seasonal-  
35 mean winter temperature anomalies, the climate prediction uncertainty for the reversal  
36 phenomenon is greater, and its adverse impacts are more significant. Based on  
37 atmospheric reanalysis data from the winters of 1980/81 to 2022/23, this study employs  
38 seasonal empirical orthogonal decomposition and composite analysis methods to  
39 investigate the interannual variability of the East Asian winter temperature anomaly  
40 reversal mode (TARM). The results indicate that although the different processes of the  
41 East Asian winter TARM are related to intraseasonal reversals of the Siberian High, the  
42 Eurasian teleconnection and the Arctic vortex anomalies, the interannual variability of  
43 the "warm to cold" mode is significantly stronger than that of the "cold to warm" mode,  
44 suggesting a pronounced asymmetry in the interannual variability of TARM. In the  
45 "warm to cold" mode, the lower-level Siberian High strengthens over time, with the  
46 positive phase of East Atlantic-West Russia-like teleconnection in early winter shifting  
47 to a negative phase in late winter, leading to more active cold air. Conversely, in the

48 "cold to warm" mode, the intensity of the winter Arctic vortex shifts from weak to  
49 strong, the Siberian High weakens after that, favoring the appearance of temperature  
50 anomalies that are cold in early winter and warm in late winter. Further analysis shows  
51 that North Atlantic and tropical Indian Ocean sea surface temperature anomalies with  
52 La Niña are important factors influencing the "warm to cold" mode, while a reduction  
53 in November Barents-Kara sea ice acts as a precursor signal for the "cold to warm"  
54 mode. Therefore, the diversity of atmospheric underlying conditions is an important  
55 reason for the asymmetry of the East Asian winter TARM. Therefore, climate prediction  
56 for the East Asian winter TARM should consider the diversity of atmospheric  
57 underlying conditions.

58 **Keywords:** East Asia winter monsoon, Air temperature anomaly, Subseasonal  
59 reversal between warm and cold anomalies, Interannual variability, Asymmetric

60 features

## 1 引言

62 东亚地区具有明显的季风气候特征，也是世界上人口最稠密的地区之一。在  
63 东亚冬季风异常的影响下，东亚极端冷事件成为局地冬季最重要的极端天气现象  
64 之一，对人类生产生活和经济社会发展造成严重影响（Wen et al., 2009; Ding et  
65 al., 2009; Curtis et al., 2017; Ma et al., 2019; Mu et al., 2022; Zheng et al.,  
66 2022）。

67 已有研究表明，东亚冬季平均地面气温异常包含全国一致型和南北反相型两  
68 种主导模态（康丽华等，2006）。虽然在全球变暖背景下，东亚冬季平均气温逐  
69 渐升高，但东亚地区冬季气温异常的月际波动却变得更加明显，局地气温的次季

70 节变率增加 (Wang et al., 2021)，表现为季节内极冷和极暖事件频繁交替、气  
71 温异常的“两极化”现象明显加剧 (Ma et al., 2018)。极端冷、暖事件的交替  
72 发生可能对生态系统造成更加严重的损害 (Casson et al., 2019)。同时，冬季气  
73 温的冷暖反转也会对居民健康、交通运输、农(渔)业生产等造成不便，影响人  
74 们的正常生活，造成巨大的经济损失 (Xu et al., 2018; Dai et al., 2019)。

75 因此，东亚冬季气温异常的冷暖反转成为近年来东亚气候研究的新热点。东  
76 亚冬季风 (EAWM) 是北半球冬季最重要的环流系统之一，其季节内变化是东亚  
77 冬季气温异常冷暖反转的直接环流载体 (Wang et al., 2010; Wang and Chen, 2014;  
78 马锋敏等, 2022)。当 EAWM 强度发生次季节反转时，东亚气温异常也随之改  
79 变。尤其是当 EAWM 异常偏强时，西伯利亚高压和东亚大槽同时增强，令亚洲  
80 地表产生反气旋异常，东亚东部的偏北气流加强，引导北方冷空气入侵东亚地区  
81 (Zhong and Wu, 2023)。EAWM 异常和冬季欧亚中高纬地区对流层中、上部活  
82 跃的大气遥相关联系紧密，包括欧亚遥相关型 (Wallace and Gutzler, 1981)、斯  
83 堪的纳维亚型遥相关型 (SCAND 型) 和东大西洋/西俄罗斯 (East Atlantic/West  
84 Russia, EATL/WRUS) 遥相关型 (刘毓赟和王林, 2014; 韦玮等, 2014; Liu et  
85 al., 2014; Wu and Chen, 2020)。作为重要的大气内部动力过程，这些大气遥相  
86 关型能够通过影响 EAWM 来调制东亚冬季地表气温 (祁莉和泮琬楠, 2021)。  
87 与此同时，热带西太平洋遥相关 (李勇等, 2007) 和太平洋-东亚遥相关 (Wang  
88 et al., 2000) 等欧亚大陆上空遥相关型都能够影响东亚冬季地面气温异常。另一  
89 方面，大气下垫面外强迫，包括海温异常、北极海冰和陆地积雪等，也是东亚冬  
90 季冷暖反转现象的可预报性来源 (Wang et al., 2000; Cohen et al., 2007; Li et  
91 al., 2021; Song et al., 2022)。例如，前冬南印度洋暖海温异常能够通过局地经

92 向环流减弱乌拉尔高压和西伯利亚高压，令前冬东亚地区异常偏暖 (Zhang et al.,  
93 2024)。而后冬极涡减弱则会导致北大西洋中纬度地区产生异常西风，令海表温  
94 度降低、乌拉尔阻塞增强，造成后冬东亚上空的异常降温 (Zhong and Wu, 2024)。  
95 近年来，与北极海冰气候影响有关的“暖北极-冷欧亚”和“冷北极-暖欧亚”模  
96 态的次季节变化变得更为频繁 (Yin et al., 2023)。乌拉尔山阻塞、“暖北极-冷  
97 欧亚”和巴伦支-喀拉海海冰的相互作用能够通过正反馈过程加剧欧亚大陆的异  
98 常低温 (Zhang et al., 2023)。此外，欧亚大陆冬季积雪异常通过与北极海冰变  
99 化的相互作用间接影响 EAWM，准确的积雪初始化能够提高东亚冬季气温的次  
100 季节和季节预报技巧 (Orsolini et al., 2012; Orsolini et al., 2013)。

101 大气内部动力过程和大气下垫面外强迫之间复杂的相互作用，增加了东亚冬  
102 季气温异常冷暖反转现象气候预测的不确定性。虽然东亚冬季平均气温异常的气  
103 候可预报性研究取得了系统性成果，最新的动力预测系统有效提高了冬季平均气  
104 温异常的预测技巧，但气候模式对东亚冬季气温冷暖反转现象的预测技巧依然很  
105 低。已有研究大都将东亚冬季“冷转暖”和“暖转冷”过程视为对称反相的气候  
106 异常现象（韦玮等, 2020; 祁莉和泮琬楠, 2021; Zhong and Wu, 2023），但对  
107 两者之间的非对称性关注较少。业务实践经验表明，气候系统模式对“暖转冷”  
108 过程的预测技巧较高，而对“冷转暖”过程的预测技巧则明显偏低，但具体原因  
109 尚不清楚。因此，本文将聚焦东亚地区冬季气温冷暖反转模态不同位相之间的非  
110 对称性，对比冷暖反转模态不同位相大气环流和下垫面异常信号的差别，为提高  
111 东亚冬季气温异常季节内变化过程的气候预测水平提供科学依据。

## 112 2 资料和方法

### 113 2.1 资料介绍

本文采用的大气环流场资料为欧洲中期数值预报中心 (ECMWF) 水平分辨率为  $1.0^\circ \times 1.0^\circ$  的 ERA5 逐月再分析资料 (Hersbach et al., 2023)，变量包括：地面 2 米气温，海平面气压场，850 hPa 和 500 hPa 风场及位势高度场，200 hPa 位涡，海冰密集度。本文的海表温度来自扩展重建海面温度 (ERSST) 数据集逐月海表温度，水平分辨率为  $2.0^\circ \times 2.0^\circ$  (Huang et al., 2017)，降水数据来自全球降水计划 (GPCP) 的逐月降水资料，水平分辨率为  $1.25^\circ \times 1.25^\circ$  (Adler et al., 2018)。

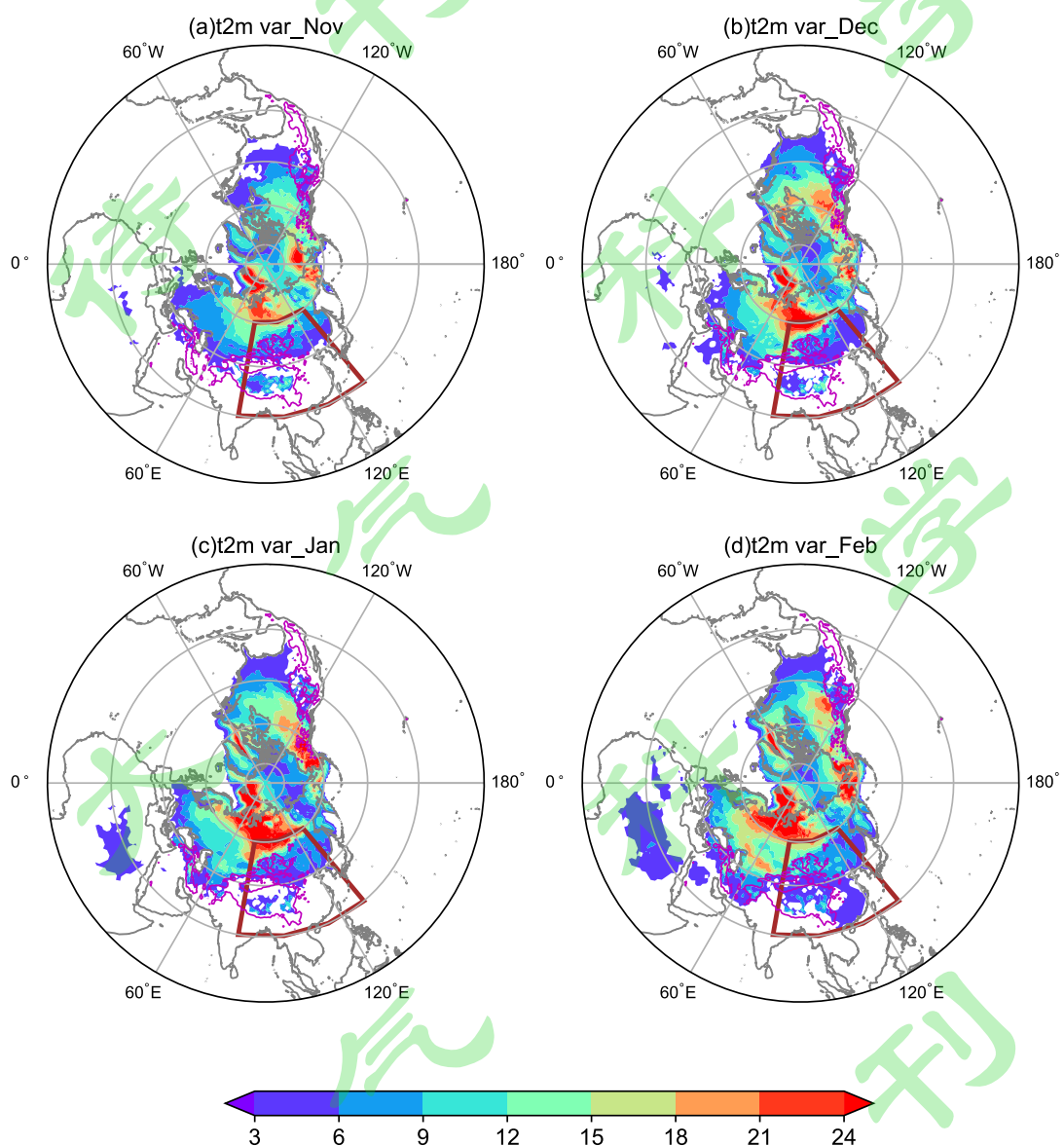
## 2.2 方法说明

本文使用季节经验正交分解方法 (S-EOF, Wang and An, 2005) 提取东亚地区冬季气温冷暖反转模态及其时间序列，并使用 North 检验 (North et al., 1982) 分析主模态的正交显著性。季节性经验正交分解的优势是能够提取逐年气象要素季节或次季节演变过程的年际变化主模态特征。在此基础上，本文使用合成分析研究冷暖反转模态不同位相的非对称特征，并采用双边 t 检验计算合成分析结果的统计显著性 (Student, 1992)。本文的研究时间段为 1980–2022 年冬季（11 月至次年 2 月），并在分析中聚焦年际尺度分量：首先去除各要素的长期线性趋势，再通过九年滑动平均提取年代际分量，最后扣除年代际信号得到年际分量。本文所有物理量在分析中均已提取年际分量。

## 3 东亚冬季气温异常月际波动的主模态特征

北半球冬季气温方差变率的空间分布存在明显月际差异（图 1），大值区位于高纬度地区，极大值中心位于西伯利亚和阿拉斯加地区。对东亚地区而言，冬季气温方差变率的大值中心位于东北亚地区、青藏高原和蒙古高原大地形区。我国东部地区气温年际方差变率在 11 月至次年 1 月期间相对较小 ( $< 3.0 \text{ K}$ )，但

136 在次年 2 月明显加大 (3.0–6.0 K)，说明东亚地区冬季气温异常存在明显的月际  
137 波动特征。为了聚焦东亚地区冬季气温异常的主要特征，本文选取 (80°–130°E，  
138 20°–60°N) 作为研究区域。



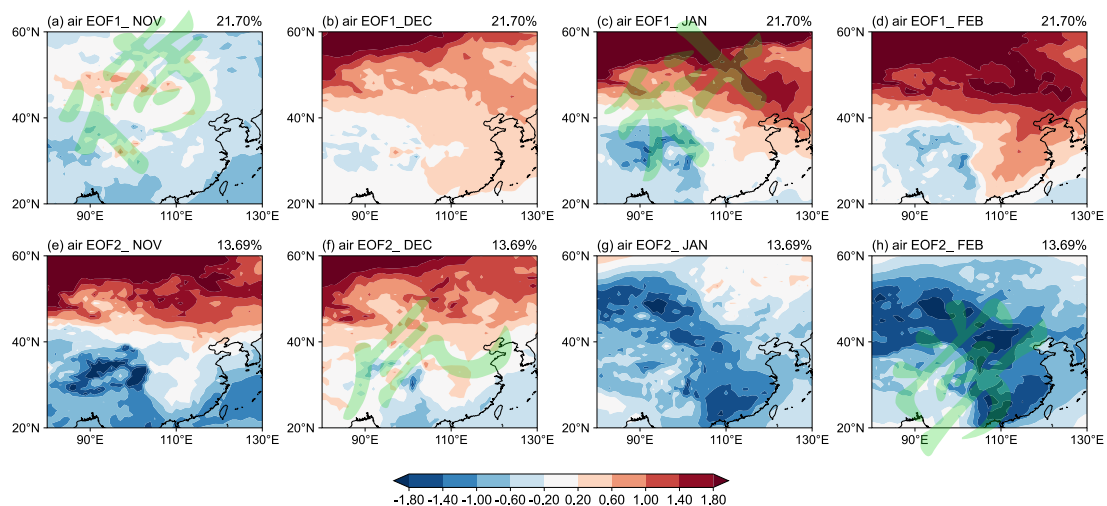
139  
140 图 1 全球 11 月至次年 2 月 (a–d) 逐月平均 2 米气温方差空间分布图 (单位: K)。紫色线为地形 1500m  
141 等值线。棕色框区域为本文研究的东亚地区气温变化关键区。

142 Fig.1 Spatial distribution of the global average winter 2-m height temperature variance (units: K) from November  
143 to following February (a–d). The purple line indicates 1500m terrain contour. The brown box shows the key region  
144 of temperature change in East Asia studied in this paper.

145 S-EOF 分析结果表明，东亚冬季气温异常月际波动的前两个主模态（图 2）  
146 通过了 North 显著性检验。其中，第一主模态（图 2a–d）的解释方差为 21.70%，  
147 气温异常在前（11–12 月）、后冬（次年 1–2 月）的变化特征保持一致，表现为  
148 青藏高原和东北亚地区存在两个反相变化的气温异常中心：当青藏高原地区异常  
149 偏冷（暖）时，东北亚地区异常偏暖（冷）。从前冬到后冬，该模态的气温异常  
150 振幅逐渐加强。第二模态（图 2e–h）的解释方差为 13.69%，气温异常在前、后  
151 冬呈现反相变化特征，并且空间差异更大：前冬，当东亚南部和青藏高原异常偏  
152 冷（暖）时，亚洲北部异常偏暖（冷）；后冬，东亚中、南部地区出现大范围冷  
153 （暖）气温异常，而亚洲北部气温异常则迅速减弱。因此，第一模态反映了东亚  
154 地区冬季气温异常的一致性变化特征，而第二模态则描述了东亚地区冬季气温异  
155 常的冷暖反转现象。

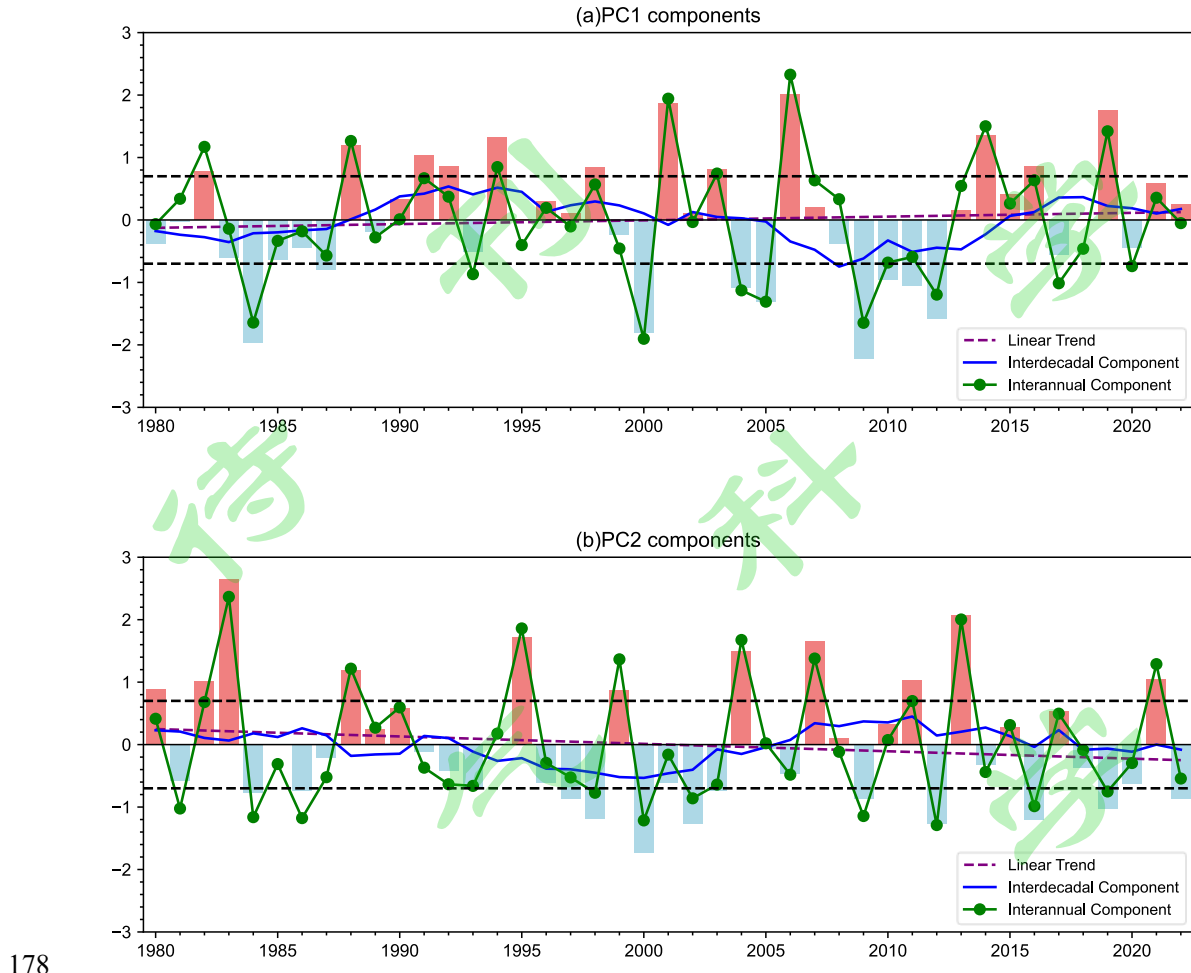
156 两个主模态的时间系数（主成分）都具有明显的多时间尺度变化特征。第  
157 一主成分（PC1）呈现线性上升趋势，说明全球气候变暖对东亚冬季气温异常一  
158 致性变化存在一定的影响（IPCC, 2021），尽管该趋势未通过显著性检验（图  
159 3a）。在年代际时间尺度上，PC1 正位相出现在 1988–2004 年，而负位相则出  
160 现在 2005–2015 年，这既和东亚地区冬季气温异常的年代际波动特征吻合（Yun  
161 et al., 2018），也与季节平均东亚冬季风的年代际变化同步（Wang et al., 2009;  
162 Wang and Chen, 2014; Wang and Lu, 2017）。PC1 年际分量的强度在正、负位  
163 相年相当，分别为 +1.40 和 -1.27。对第二主成分（PC2）而言，其线性下降趋势  
164 不显著（图 3b），其年代际分量的正位相出现在 1980–1987 和 2005–2018 年，  
165 负位相出现在 1987–2005 年和 2018–2022 年。尤其是在 2016–2022 年期间，PC2  
166 年代际分量负位相和线性下降趋势相叠加，对该时段内东亚地区“前冬冷、

167 “后冬暖”现象频发。在年际时间尺度上，PC2 年际分量在正位相年的平均值为  
168 +1.64，而在负位相年的平均值为-1.04，两者的差异通过了 95% 显著性检验，说  
169 明东亚冬季冷暖反转模态的年际变化强度具有明显不对称性。值得注意的是，  
170 冬季气温冷暖反转模态的非对称性不依赖于气候变暖的长期趋势，说明这种非  
171 对称性是东亚冬季气温异常的固有属性。



172  
173 图 2 1980–2022 年东亚 (80–130°E, 20–60°N) 冬季 (11 月–次年 2 月) 气温 S-EOF 第一模态 (a–d) 和第  
174 二模态 (e–h) 空间分布 (单位: K)。

175 Fig.2 Spatial pattern of the first S-EOF mode (a–d) and the second mode (e–h) of monthly winter (November to  
176 following February) 2-m air temperature anomalies (units: K) in East Asia (80–130°E, 20–60°N) from 1980 to  
177 2022.



178  
179 图 3 1980–2022 年冬季东亚区域 ( $80\text{--}130^{\circ}\text{E}$ ,  $20\text{--}60^{\circ}\text{N}$ ) 平均 2 米气温标准化的第一模态时间序列 (a) 和  
180 第二模态时间序列 (b) 的线性趋势 (紫色虚线), 年代际分量 (蓝色实线), 和年际分量 (绿色实  
181 线)。

182 Fig.3 The normalized time series of EOF1 (a) and the normalized time series of EOF2 (b) of regional average  
183 monthly winter 2-m air temperature anomalies in East Asia ( $80\text{--}130^{\circ}\text{E}$ ,  $20\text{--}60^{\circ}\text{N}$ ) from 1980 to 2022. The purple  
184 dashed line represents the linear trend, the blue solid line indicates the interdecadal component, the green line  
185 indicates the interannual component.

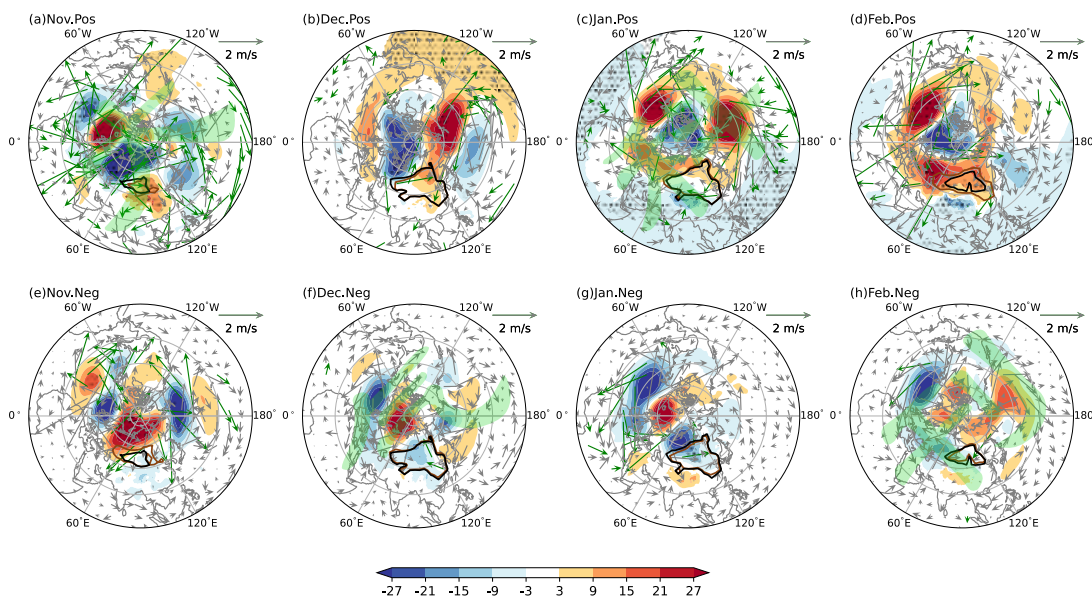
#### 186 4 东亚冬季气温冷暖反转模态的非对称性

187 为了进一步分析东亚冬季冷暖反转模态强度的不对称性特征,本文以 PC2 年  
188 际分量标准差  $\pm 0.7$  作为正负位相年标准, 挑选出特征年进行合成分析。其中, 8

189 个正位相特征年（“暖转冷”）包括：1983、1988、1995、1999、2004、2007、  
190 2013 和 2021 年，10 个负位相特征年（“冷转暖”）包括：1981、1984、1986、  
191 1998、2000、2002、2009、2012、2016 和 2019 年。

## 192 4.1 大气环流异常特征

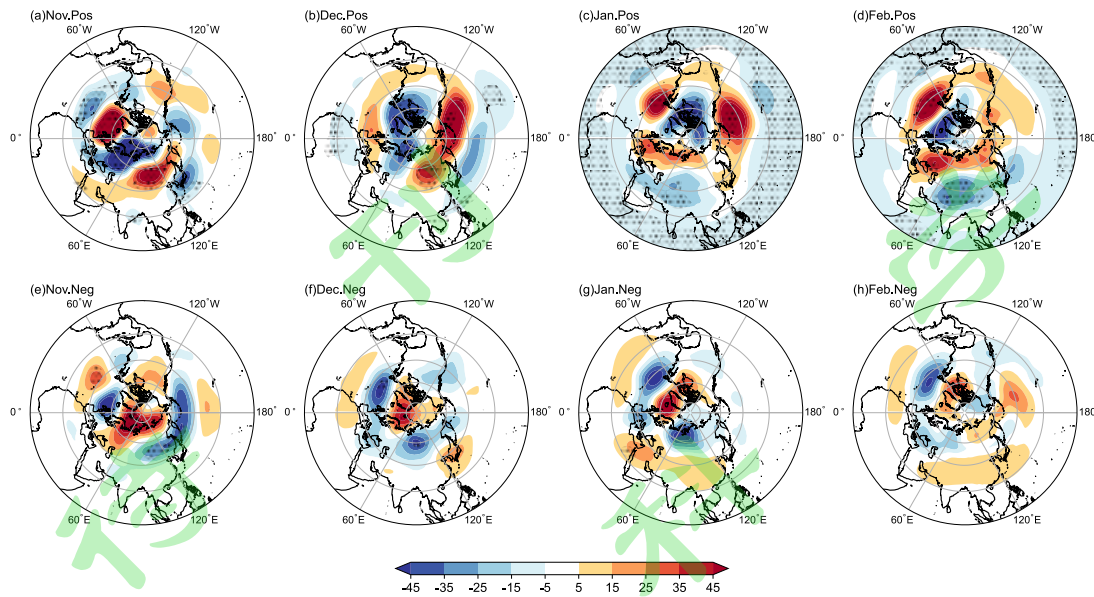
193 在对流层低层，正位相年 11 月份的西伯利亚高压中心位于 40°N 以北，且范  
194 围较小（图 4a）。12 月至次年 2 月，高压中心南移至 40°N 左右，中心强度加  
195 强，伴随着偏北风异常增强，此时西伯利亚高压异常加强并南压（图 4b-d）。而在  
196 负位相年，11 月份显著的位势高度正异常位于 60°N 以北的西伯利亚地区，对  
197 应此时西伯利亚高压异常偏强（图 4e）。该异常高压于 12 月份逐渐减弱（图 4f），  
198 并在 1 月份转变为异常低压，其中心位于蒙古高原附近，相应地西伯利亚高压异  
199 常偏弱（图 4g）。2 月份，东亚地区低空大气环流异常信号不明显（图 4h）。



200  
201 图 4 PC2 年际分量正位相年（a-d）和负位相年（e-h）850 hPa 位势高度场（阴影，单位：gpm）和风场  
202 （单位： $m s^{-1}$ ）以及西伯利亚高压 1047 hPa 特征线的合成场空间分布。棕色实线为正、负位相年，黑色  
203 实线为气候态。打点区域通过 95% 显著性检验。绿色风场为 90% 显著性检验地区。  
204 Fig.4 Composites of 850-hPa geopotential height anomalies (contours, units: gpm), 850-hPa wind anomalies (units:

205  $\text{m s}^{-1}$ ) and the 1047 hPa characteristic line of Siberian High for the positive phase years (a–d) and negative phase  
206 years (e–h) with PC2 on interannual timescale. The brown line indicates the characteristic years, and the black line  
207 indicates the climatic state. The dotted regions are significant at the 95% confidence level. The green winds are  
208 significant at the 90% confidence level.

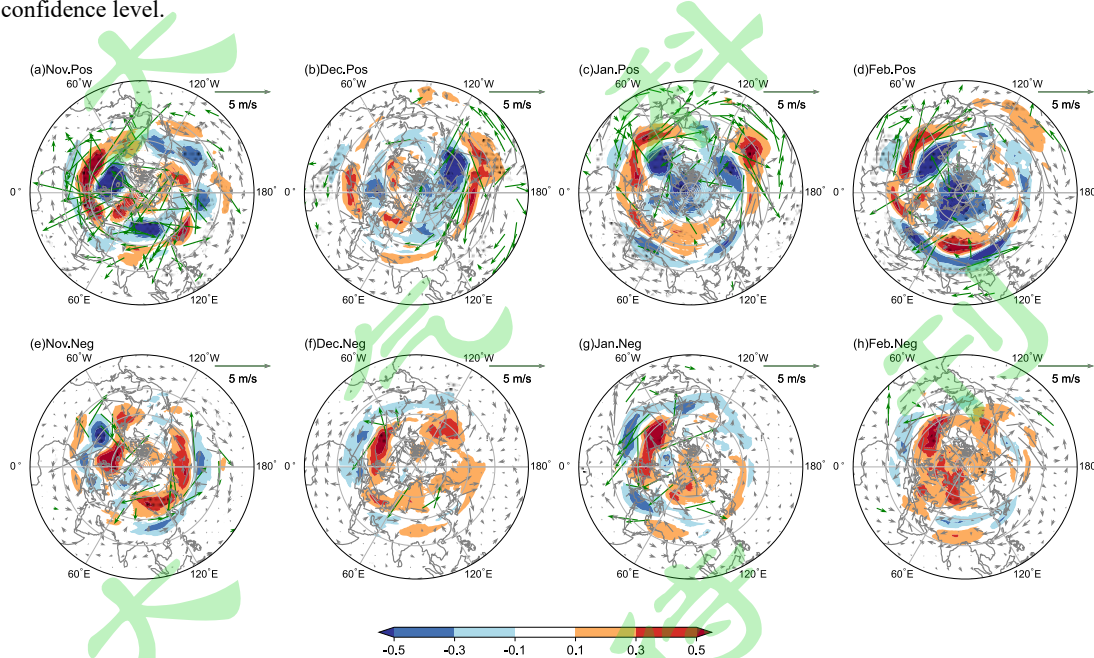
209 对流层中、高层大气环流异常的合成特征在正、负位相年也存在显著差异。  
210 在正位相年, 11月对流层中部的低压异常中心位于北大西洋和西西伯利亚上空,  
211 而高压异常中心则位于斯堪的纳维亚半岛和东北亚上空(图 5a)。上述位势高度  
212 正、负中心与对流层高层的正、负位涡异常中心相对应, 并伴随着局地气旋式和  
213 反气旋式环流异常(图 6a), 表现出明显的相当正压结构。12月, 对流层中、  
214 高层的异常中心逐渐减弱(图 5b 和 6b)。次年 1 至 2 月, 高空高压异常中心移  
215 至北大西洋和东欧平原上空, 而低压异常中心则位于斯堪的纳维亚半岛和东亚上  
216 空(图 5c 和图 5d)。此时东亚上空的异常气旋对应东亚大槽的加深发展(Barnston  
217 and Livezey, 1987; 李忠贤等, 2023)。同时, 北极地区逐渐形成负位涡异常中  
218 心, 对应北极极涡异常偏弱(图 6c 和 6d)。在负位相年, 11月对流层中、高层  
219 的异常高压中心位于北大西洋和西西伯利亚上空, 而异常低压中心则位于斯堪的  
220 纳维亚半岛和东北亚上空(图 5e 和 6e)。该大气环流异常中心的空间分布与正  
221 位相年相近, 但位相相反。12月至次年 2 月, 北极地区对流层高层的异常正位  
222 涡和气旋式环流快速发展, 北极极涡异常增强、绕极西风加速, 中高纬环流的经  
223 向波动减弱(图 5f–h), 这时欧亚大陆对流层中层的环流异常特征不明显(图 6f–  
224 h)。上述对流层中、高层大气环流异常的空间分布特征与东大西洋/西俄罗斯  
225 (EATL/WRUS) 型遥相关型相似(Wang et al., 2011; Liu et al., 2014; Gao et  
226 al., 2017; Chen et al., 2019)。



227

228 图 5 PC2 年际分量正位相年 (a-d) 和负位相年 (e-h) 500 hPa 位势高度场 (单位: gpm) 的合成场空间分  
229 布。打点区域通过 95% 显著性检验。

230 Fig. 5 Composites of 500-hPa geopotential height anomalies (contours, units: gpm) for the positive phase years (a–  
231 d) and negative phase years (e–h) with PC2 on interannual timescale. The dotted regions are significant at the 95%  
232 confidence level.



233

234 图 6 PC2 年际分量正位相年 (a-d) 和负位相年 (e-h) 200 hPa 位涡 (单位:  $K \text{ m}^2 \text{ kg}^{-1} \text{ s}^{-1}$ )、500 hPa 风  
235 场 (单位:  $\text{m s}^{-1}$ ) 的合成场空间分布。打点区域通过 95% 显著性检验。绿色风场为 90% 显著性检验地

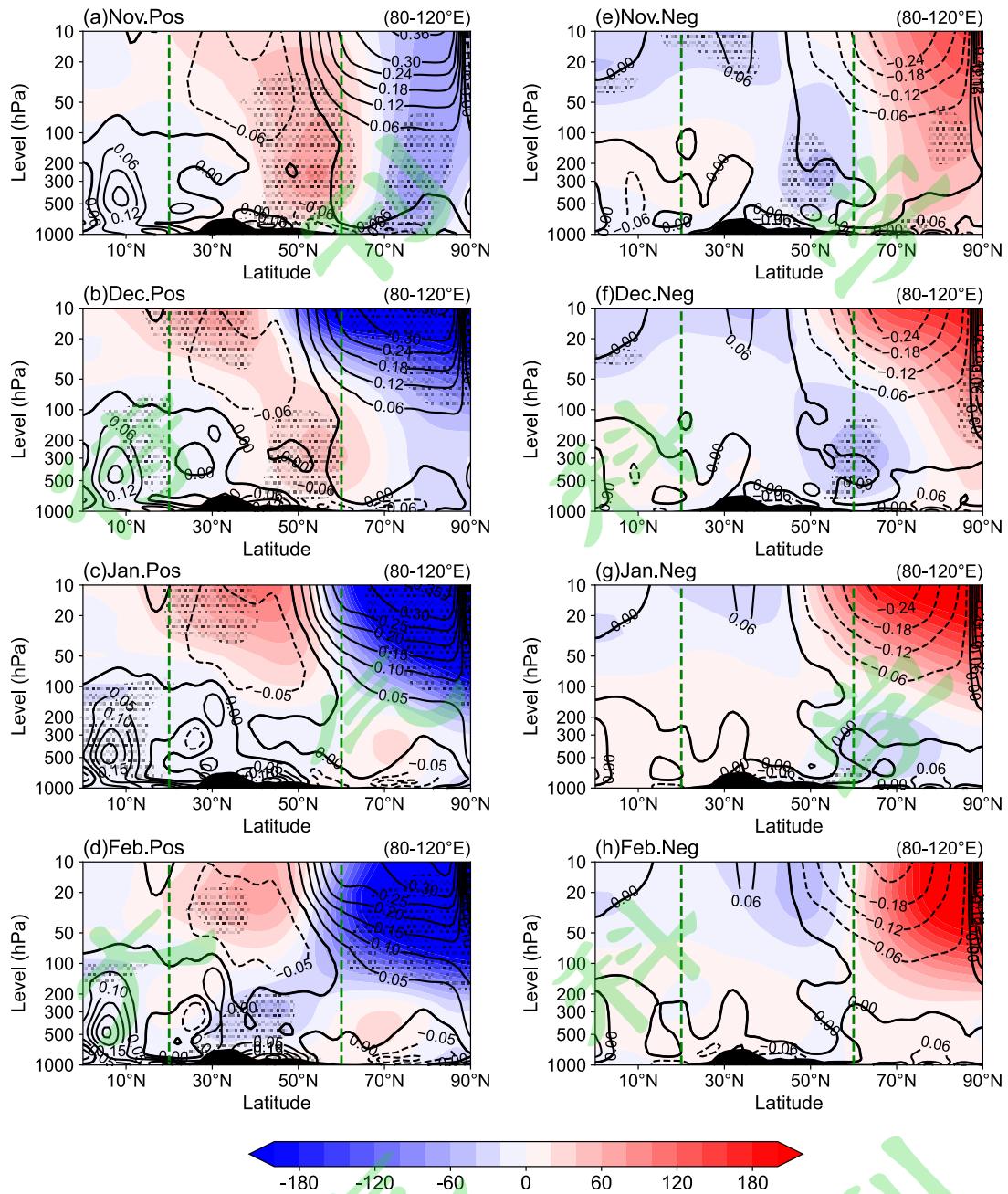
236 区。

237 Fig. 6 Composites of 200-hPa geopotential vorticity (units:  $\text{K m}^2 \text{kg}^{-1} \text{s}^{-1}$ ) and 500-hPa wind anomalies (units:  $\text{m s}^{-1}$ ) in the positive phase years (a–d) and negative phase years (e–h) with regard to PC2 on interannual timescale.

239 The dotted regions are significant at the 95% confidence level. The green winds are significant at the 90%

240 confidence level.

241 进一步分析表明，东亚地区不同纬度之间大气环流异常的联系在 PC2 年际  
242 分量不同位相下也存在明显差别（图 7）。在正位相年，11 至 12 月期间赤道附  
243 近存在强大且深厚的大气非绝热加热异常，这与热带对流异常释放的凝结潜热有  
244 关。热带对流异常伴随着剧烈的异常上升运动，局地异常经向环流的下沉支位于  
245 东北亚地区，有利于加强东北亚地区的低空高压和反气旋式环流，形成“前冬暖”  
246 的气候异常格局（图 7a 和 7b）；次年 1 至 2 月，虽然亚洲南部的热带对流依然  
247 维持，但东亚地区对流层中、高层却转变为明显的低压异常，该低压异常逐渐向  
248 北极扩展，有利于对流层北极极涡异常减弱，东亚地区随之出现“后冬冷”的气  
249 温异常（图 7c 和 7d）。在负位相年，东亚地区热带和中纬度对流层垂直环流异  
250 常并不明显。11 月，50°N 左右对流层中、高层出现显著深厚的低压异常，东亚  
251 地区出现“前冬冷”的气温异常（图 7e）。12 月至次年 1 月，该异常低压向北  
252 移动（图 7f 和 7g），伴随着北极极涡逐渐增强，北半球中纬度环流经向度减小，  
253 东亚地区随之出现“后冬暖”的气温异常。次年 2 月，北极地区环流异常信号不  
254 明显（图 7h）。可见，亚洲高纬度地区对流层低压异常的向极移动超前于东亚地  
255 区的地面气温异常变化。



256

257 图 7 PC2 年际分量正位相年 (a-d) 和负位相年 (e-h) 的位势高度场 (阴影, 单位: gpm) 和  $Q_1$  (等值

258 线, 间隔为 0.06, 单位:  $K d^{-1}$ ) 合成剖面图。黑色实线为气候态; 绿色虚线为研究区域。打点区域通过

259 95%显著性检验。黑色阴影表示地形高度。

260 Fig.7 Vertical cross-section composites of geopotential height anomalies (shading, units: gpm) and  $Q_1$ ,

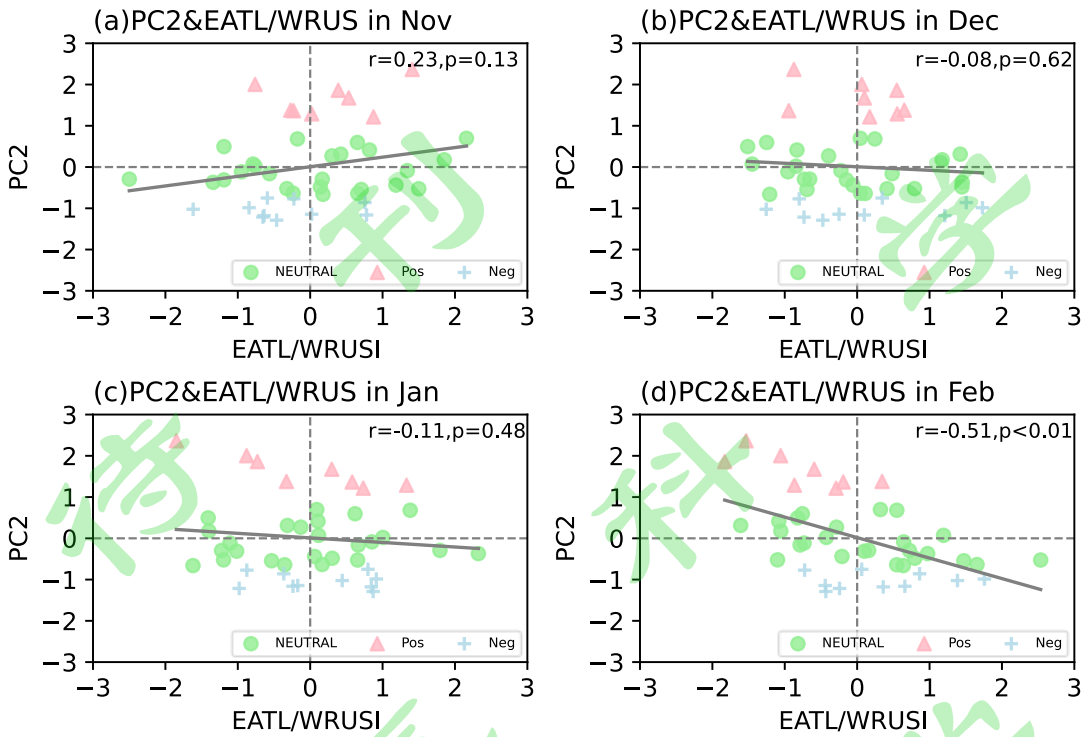
261 interval of 0.06, units:  $K d^{-1}$ ) for the positive phase years (a-d) and negative phase years (e-h) with PC2 on

262 interannual timescale. The black line indicates the climatic state, the green dotted line indicates the study area, the

263 dotted regions are significant at the 95% confidence level. Black shading indicates the topography.

264 为了量化上述关键环流和冷暖反转模态的关系，我们进一步分析了多种环流  
265 指数和 PC2 年际分量的统计关系（图 8 和图 9），包括：（1）逐月 EATL/WRUS  
266 遥相关指数（由美国国家海洋和大气管理局气候预测中心提供，下载数据网址为  
267 <https://iridl.ldeo.columbia.edu/SOURCES/.NOAA/.NCEP/.CPC/.Indices/.NHTI/>  
268 [2025-01-13]），即北半球热带外（ $20^{\circ}\text{N}$ – $90^{\circ}\text{N}$ ） $700\text{ hPa}$  位势高度距平场旋转 EOF  
269 的第 6 主成分（Barnston and Liverzey, 1987; Liu et al., 2014）；（2）西伯利亚  
270 高压指数，即（ $40^{\circ}\text{N}$ – $65^{\circ}\text{N}$ ,  $80^{\circ}\text{E}$ – $120^{\circ}\text{E}$ ）区域平均的海平面气压（Cheung and  
271 Zhou, 2015）；（3）北极极涡指数，即北极地区（ $65^{\circ}\text{N}$ – $90^{\circ}\text{N}$ ）加权平均的  $500$   
272  $\text{hPa}$  位势高度场（Kolstad et al., 2010）。所有指数在统计分析之前均已提取年际  
273 分量。

274 在正位相年，前冬 EATL/WRUS 指数多为正值（图 8a），该指数在后冬变  
275 为负值（图 8b-d），与合成分析的结果一致。在此期间，西伯利亚高逐渐由弱变  
276 强（图 9a 红色柱），但北极极涡变化较小（图 9b 红色柱），说明 EATL/WRUS  
277 遥相关位相的由正转负和西伯利亚高压的由弱变强是东亚冬季“暖转冷”过程的  
278 关键环流。在负位相年，虽然 EATL/WRUS 指数和 PC2 之间缺乏明显的相关性，  
279 但西伯利亚高压和北极极涡指数与 PC2 之间的对应关系却变得更加显著：11 至  
280 12 月西伯利亚高压异常偏强，而北极极涡异常偏弱，对应东亚地区“前冬冷”的  
281 气温异常；次年 1 至 2 月，北极极涡逐渐加强，西伯利亚高压逐渐减弱，相应地  
282 东亚地区出现“后冬暖”的气温异常（图 9a 和图 9b 蓝色柱），说明低空西伯利  
283 亚高压和高空北极极涡异常对东亚冬季“冷转暖”过程更为重要。



284

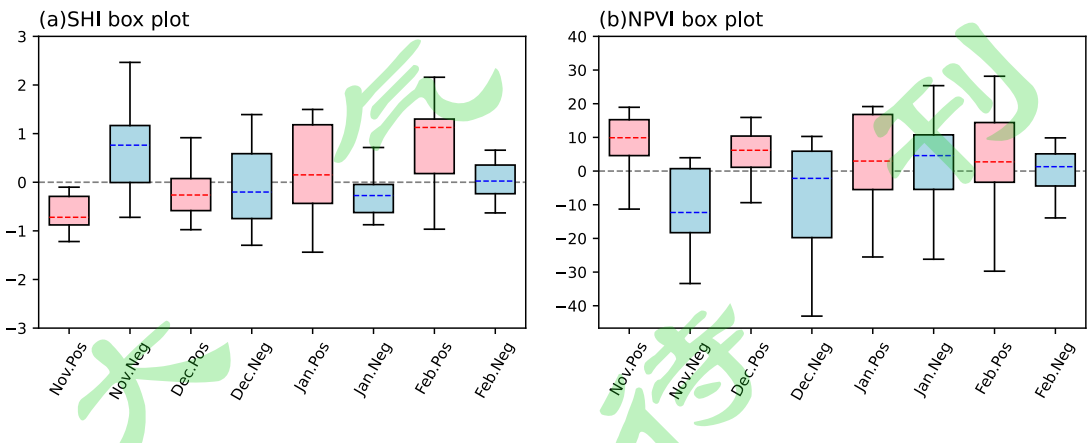
285 图 8 月平均 EATL/WRUS 指数与 PC2 年际分量的散点图 (a-d)。灰线为线性回归线。粉色三角表示正位

286 相年，蓝色加号表示负位相年，绿色圆形表示剩余年份。

287 Fig.8 Scatter plot of monthly average EATL/WRUS index and PC2 of interannual timescale from November to

288 February (a-d). The gray line indicates the linear regression. Pink triangles indicate positive phase years, blue plus

289 signs indicate negative phase years, and green circles indicate neutral years.



290

291 图 9 PC2 年际分量正位相年（红色柱）和负位相年（蓝色柱）西伯利亚高压指数（SHI）（a）

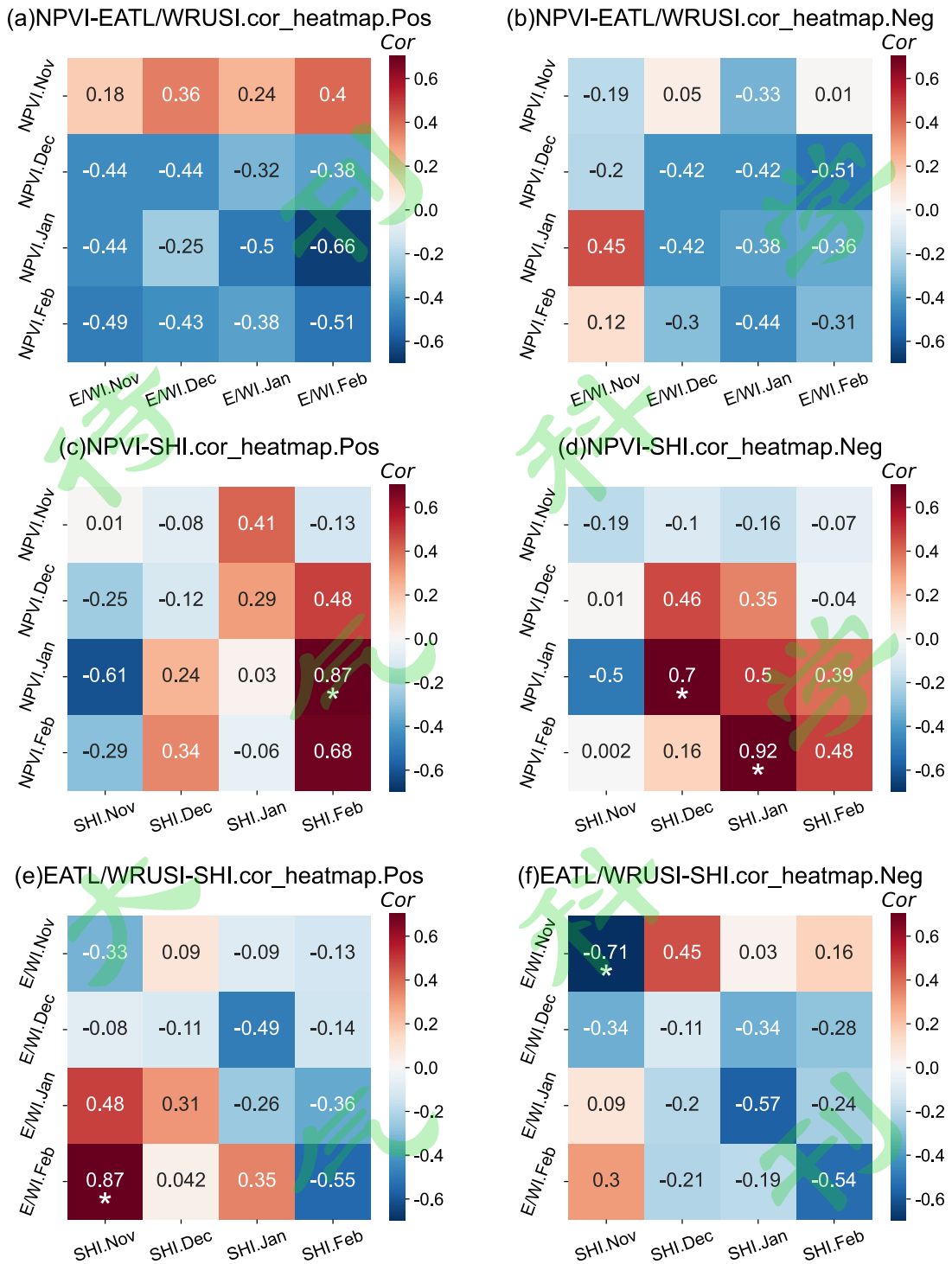
292 （40–65°N, 80–120°E 区域平均的海平面气压异常）（单位: hPa）和北极极涡指数（NPVI）（b）

293 (65°N 以北区域 500 hPa 位势高度场) (单位:  $\text{K m}^2 \text{kg}^{-1} \text{s}^{-1}$ ) 的盒须图。红色和蓝色虚线分别代表 PC2  
294 正位相年和负位相年的中位数。

295 Fig.9 Box-and-whisker plot of Siberian High index (SHI) (a) (the average sea level pressure anomalies in  
296 40–65°N, 80–120°E) (units: gpm) and the Arctic polar vortex index (NPVI) (b) (units:  $\text{K m}^2 \text{kg}^{-1} \text{s}^{-1}$ ) (500-hPa  
297 geopotential height anomalies averaged northward of 65°N) for the positive phase years (red box) and negative  
298 phase years (blue box) with PC2 on interannual timescale. The red and blue dotted line represents the median.

299 EATL/WRUS 型遥相关、西伯利亚高压和北极极涡指数之间的统计相关分析  
300 进一步说明了三者内在联系在 PC2 年际分量不同位相下的明显差异（图 10）。

301 在正位相年，冬季各月 EATL/WRUS 指数与极涡指数存在较强的同期负相关（图  
302 10a），而 EATL/WRUS 指数与西伯利亚高压指数的同期负相关从 11 月维持至次  
303 年 2 月（图 10e），但从 11 月至次年 1 月，极涡指数与西伯利亚高压指数之间的  
304 同期相关性很弱（图 10c）。极涡指数在“暖转冷”过程中变化较小（图 9b），  
305 说明 EATL/WRUS 遥相关的位相反转并不依赖于北极极涡异常。在负位相年，  
306 EATL/WRUS 指数和西伯利亚高压指数只在 11 月存在显著的同期负相关（图 10b  
307 和 10f），而冬季各月北极极涡和西伯利亚高压指数之间均存在明显的同期正相  
308 关（图 10d），说明北极极涡和西伯利亚高压之间的联系在“冷转暖”过程中更  
309 加紧密。需要指出的是，在 12 月至次年 2 月期间，西伯利亚高压和北极极涡指  
310 数之间存在显著的超前-滞后正相关（图 10c 和 10d），说明西伯利亚高压和北极  
311 极涡异常之间存在反馈过程，但具体物理机制仍有待进一步研究。因此，在正位  
312 相年，EATL/WRUS 遥相关和西伯利亚高压之间存在明显的相互作用，而在负位  
313 相年，北极极涡和西伯利亚高压的耦合联动更为明显。



314

315 图 10 (a, c, e) 正位相年和 (b, d, f) 负位相年 11 月–次年 2 月北极极涡指数 (NPVI)、EATL/WRUS

316 指数 (EATL/WRUSI) 与西伯利亚高压指数 (SHI) 的相关系数热力图 (“\*” 表示通过了 95% 显著性检验)

317 Fig.10 Heat map of correlation coefficients about the Arctic polar vortex index (NPVI) index, EATL/WRUS index

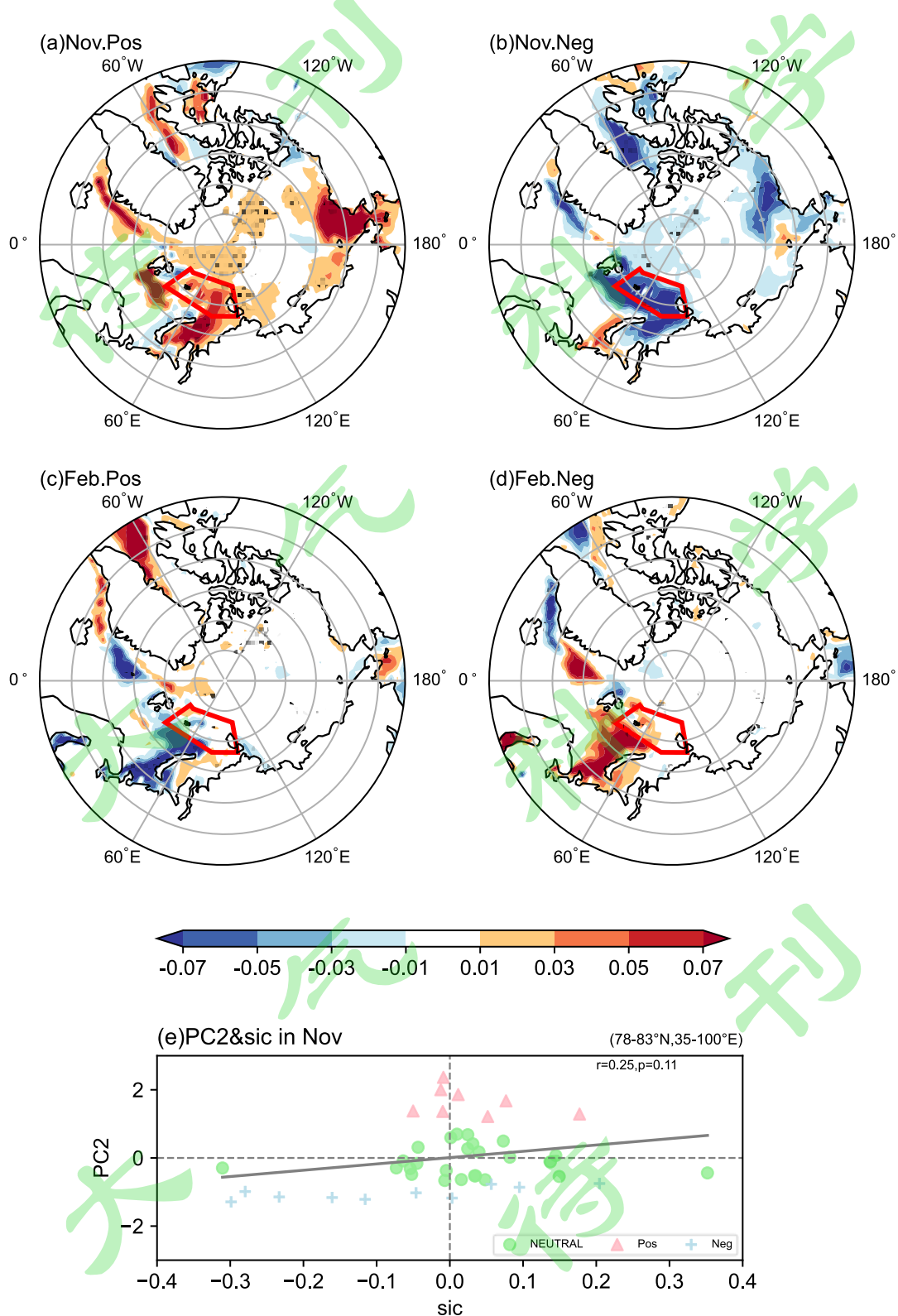
318 (EATL/WRUSI) and Siberian High index (SHI) in (a, c, e) the positive years and (b, d, f) negative years for

319 November–February (next year). (“\*” represent the values passing the 95% confidence level)

## 320 4.2 大气下垫面外强迫异常

321 由于大气环流的记忆性小于 2 周，因此月平均环流异常必然与大气下垫面  
322 外强迫有关。北极海冰和全球海温异常作为影响东亚冬季风重要的大气下垫面  
323 外强迫，在东亚冬季气温冷暖反转模态中也存在非对称性。秋季巴伦支-喀拉海  
324 （BKS）区域（ $78^{\circ}\text{E}-83^{\circ}\text{N}$ ,  $35^{\circ}\text{E}-100^{\circ}\text{E}$ ）海冰是东亚冬季寒潮重要的前兆信  
325 号（Zuo et al., 2016; Zhang et al., 2020）。在正位相年，11 月 BKS 海冰的年  
326 际分量异常偏多（图 11a），2 月 BKS 海冰的年际分量显著偏少（图 11c），海  
327 冰异常和 PC2 的对应关系不稳定（图 11e），说明前期海冰异常对东亚冬季  
328 “暖转冷”过程的指示性较弱。在负位相年，BKS 海冰在 11 月异常偏少、而  
329 在 2 月异常偏多（图 11b 和 11d），11 月海冰指数与 PC2 的相关系数达到+0.74  
330 （图 11e）。在“冷转暖”过程中，前冬 BKS 海冰异常偏少，对应极涡异常偏  
331 弱，西伯利亚高压异常偏强（图 7e 和图 7f），这时东亚冬季异常寒冷天气发生  
332 东亚北部大部分地区，类似东亚冬季地表气温异常的“北方模态”（Wang et  
333 al., 2010; Wu and Zhang, 2010; Zuo et al., 2016; Zhang et al., 2020; Zhong  
334 and Wu, 2022）。后冬，随着北极极涡逐渐加强，BKS 海冰开始异常增多，伴  
335 随着西伯利亚高压由强转弱（图 7g 和图 7h），相应地，东亚地区出现“后冬  
336 暖”的气候异常。武炳义（2018）的研究指出，北极海冰影响东亚冬季天气气  
337 候的机制包括北极海冰负反馈机制（Alexander et al., 2004）和平流层-对流层  
338 相互作用机制（Nakamura et al., 2015）。因此，秋季 BKS 海冰异常偏少可以  
339 视为东亚冬季“冷转暖”现象的潜在前兆信号。值得注意的是，在季节内时间  
340 尺度上，冬季西伯利亚高压、乌拉尔山阻塞高压异常和北极增暖之间的因果关

341 系尚不清楚，北极海冰异常对冬季欧亚大陆环流异常相互作用的影响也仍有待  
342 进一步研究（武炳义，2024）。



343

344 图 11 PC2 年际分量正位相年 11 月 (a) , 2 月 (c) 和负位相年 11 月 (b) , 2 月 (d) 海冰密集度 (单

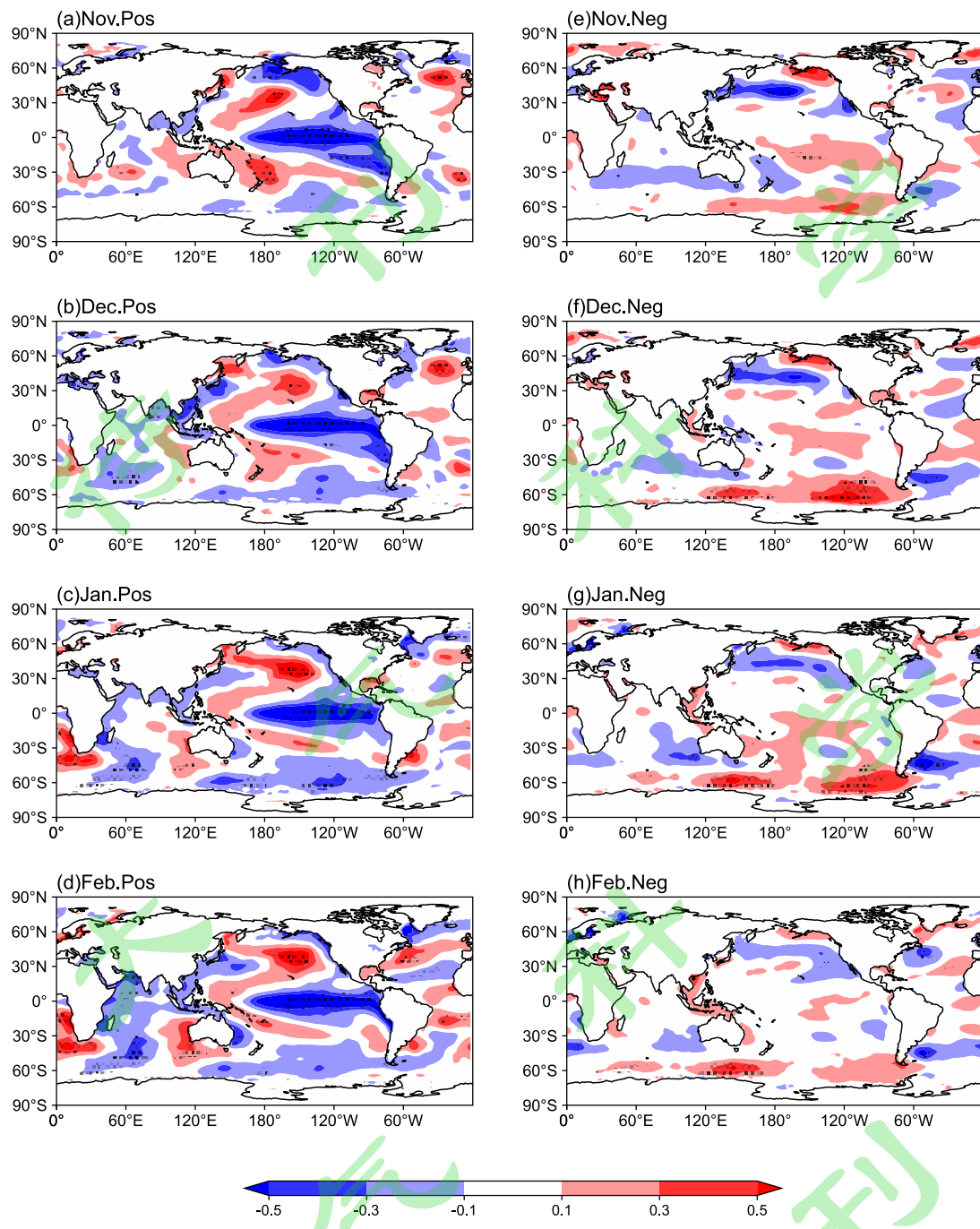
345 位：无量纲）合成场空间分布和海冰异常与 PC2 散点图（e）。红框为选取的海冰关键区。打点区域通过  
346 90%显著性检验。灰线为线性回归线。粉色三角表示正位相年，蓝色加号表示负位相年，绿色圆形表示剩  
347 余年份。

348 Fig.11 Composites of sea ice area fraction (units: dimensionless) in November (a, c) and February (b, d) for positive  
349 (the first column) and negative (the second column) phase years with PC2 on interannual timescale. Scatter plot  
350 (e) between sea ice area fraction and PC2 on interannual timescale. The red box shows the selected sea ice critical  
351 areas. The dotted regions are significant at the 90% confidence level. The gray line indicates the linear regression.  
352 Pink triangles indicate positive phase years, blue plus signs indicate negative phase years, and green circles indicate  
353 neutral years.

354 全球海温异常是东亚冬季气温异常的另一个重要大气下垫面影响因子。在正  
355 位相年，虽然冬季各月赤道东太平洋海温异常偏低，表现出典型的 La Niña 成熟  
356 位相特征（图 12a–d），但前冬北大西洋却出现了显著暖海温异常（图 12a 和图  
357 12b）。该热带外暖海温异常能够激发出 EATL/WRUS 遥相关正位相(Wang et al.,  
358 2011; Liu et al., 2014; Gao et al., 2017)，引起乌拉尔山北部地区的对流层中  
359 层异常高压，造成东亚大槽和西伯利亚高压的异常偏弱（图 13a 和图 13b），有  
360 利于东亚北部地区异常偏暖。后冬，北大西洋暖海温异常开始减弱，同时热带印  
361 度洋和中、东太平洋海温快速降低，赤道西太平洋海温异常升高，增加了印太暖  
362 池区的纬向海温梯度（图 12c 和图 12d）。热带海温异常有利于增强 Walker 环流  
363 和东印度洋暖池区的上升气流，令局地降水异常偏多（图 13c 和图 13d），其释  
364 放的凝结潜热通过激发准定常 Rossby 波，在青藏高原上空产生异常低压，其北  
365 侧的偏东风异常有助于西伯利亚高压增强。这时，对流层中高层 EATL/WRUS 遥  
366 相关由正转负，东亚大槽加深发展（图 13c 和图 13d）。西伯利亚高压和东亚大

367 槽的同时增强加剧了东亚地区的降温幅度，产生类似 La Niña 年东亚冬季地表温  
368 度“南方模态”的气温异常特征 (Wang et al., 2010; 陈文, 2002; 袁媛等, 2014)。  
369 因此在正位相年，海温异常在前、后冬的演变特征有利于东亚出现“暖转冷”的  
370 气温异常变化。在负位相年，冬季海温异常信号不明显（图 12e–h），热带降水  
371 和大气环流异常也不明显（图 13e–h），意味着东亚冬季“冷转暖”过程和海温  
372 异常的直接联系相对较弱。





373

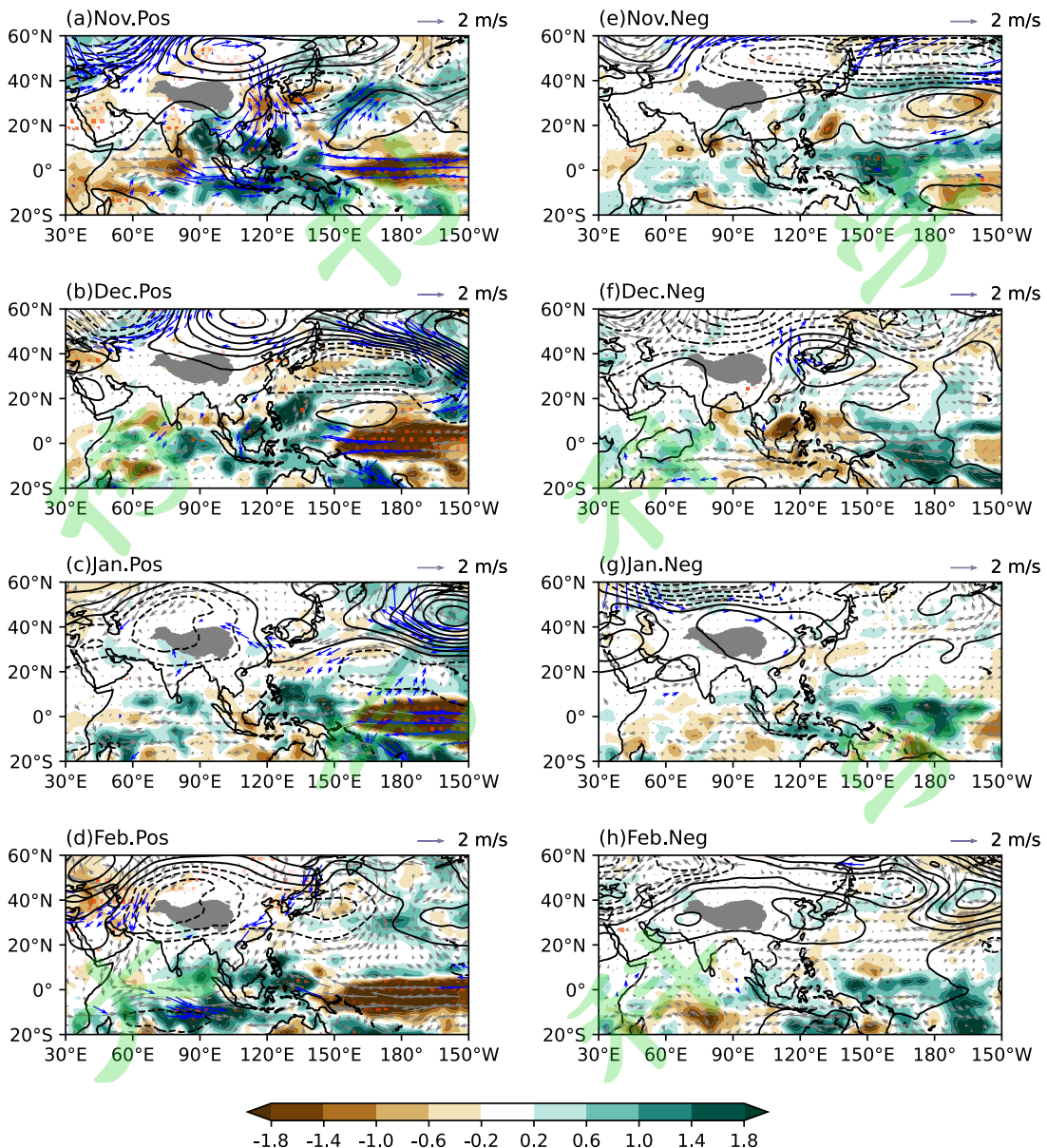
374 图 12 PC2 年际分量正位相年 (a-d) 和负位相年 (e-h) 海温异常 (单位: °C) 合成场空间分布。打点区

375 域通过 95% 显著性检验。

376 Fig.12 Composites of sea surface temperature anomalies (units: °C) for the positive phase years (a-d) and negative

377 phase years (e-h) with PC2 on interannual timescale. The dotted regions are significant at the 95% confidence

378 level.



379

380 图 13 PC2 年际分量正位相年 (a-d) 和负位相年 (e-h) 降水 (阴影, 单位:  $\text{mm day}^{-1}$ )、850 hPa 风场

381 (箭头, 单位:  $\text{m s}^{-1}$ ) 和 500 hPa 位势高度场 (等值线, 单位: gpm) 合成场空间分布。打点区域通过

382 95%显著性检验。蓝色风场通过 90%显著性检验。

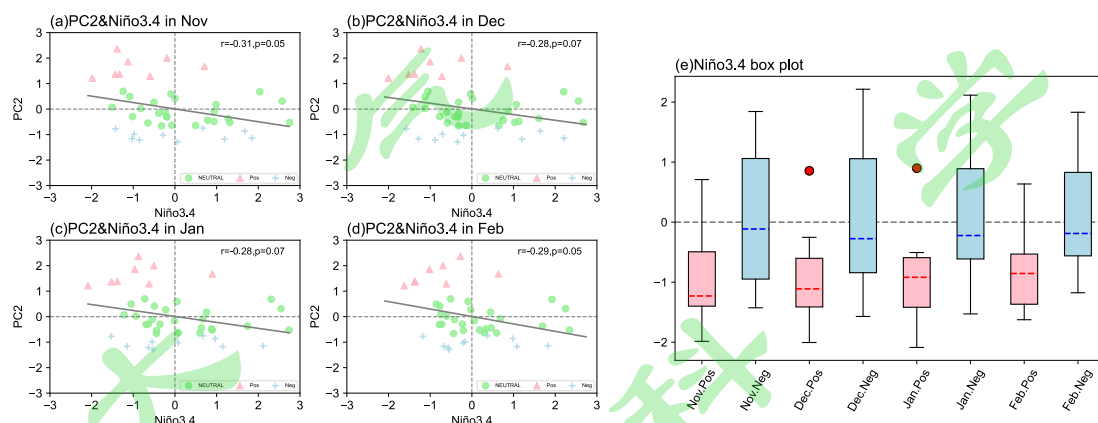
383 Fig.13 Composites of precipitation anomalies (shaded, units:  $\text{mm day}^{-1}$ ), 850-hPa wind anomalies (arrows, units:

384  $\text{m s}^{-1}$ ), and 500-hPa geopotential height anomalies (contours, units: gpm) for the positive phase years (a-d) and

385 negative phase years (e-h) with PC2 on interannual timescale. The dotted regions are significant at the 95%

386 confidence level. The blue winds are significant at the 90% confidence level.

387 海温异常对东亚冬季气温冷暖反转模态的影响也表现在 PC2 和冬季逐月  
 388 Niño3.4 指数的相关性上。虽然 PC2 和冬季逐月 Niño3.4 指数年际分量均呈显著  
 389 负相关，但这主要来自正位相年赤道东太平洋冷海温异常的贡献（图 14a–d），  
 390 说明在 La Niña 事件成熟位相，东亚冬季发生“暖转冷”过程的概率较高。而在  
 391 负位相年，冬季各月 Niño3.4 指数的波动幅度大（图 14e），说明赤道东太平洋  
 392 海温异常和“冷转暖”过程对应关系的不确定性较大。需要指出的是，在正位相  
 393 年，2004–05 年冬季发生了一次 El Niño 事件（图 14e 中的奇异点），与统计合  
 394 成结果不一致，其具体成因仍需进一步分析。



395  
 396 图 14 PC2 和 Niño3.4 指数 ( $5^{\circ}\text{S}$ – $5^{\circ}\text{N}$ ,  $170$ – $120^{\circ}\text{W}$ ) 年际分量的散点图 (a–d) 以及合成箱线图 (e)。红  
 397 色和蓝色虚线代表中位数。灰线为线性回归线。粉色三角表示正位相年，蓝色加号表示负位相年，绿色圆  
 398 形表示剩余年份。红色实心点为奇异值（基于 1.5 倍的四分位差以外的值定义为奇异值）。

399 Fig.14 Scatter plot (a–d) and box-and-whisker plot (e) between Niño3.4 SSTA ( $5^{\circ}\text{S}$ – $5^{\circ}\text{N}$ ,  $170$ – $120^{\circ}\text{W}$ ) and PC2  
 400 on interannual timescale. The red and blue dotted line shows the median. The gray line indicates the linear  
 401 regression. Pink triangles indicate positive phase years, blue plus signs indicate negative phase years, and green  
 402 circles indicate neutral years. Solid red dots are singular values. (Values exceeding the 1.5 times the quartile  
 403 difference are defined as singular values).

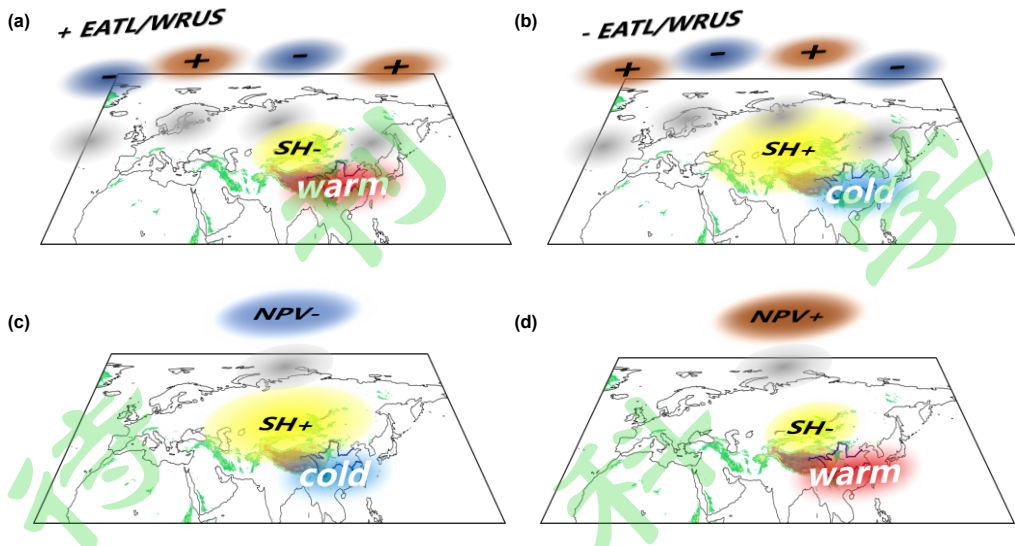
## 404 5 结论与讨论

405 本文分析了东亚地区冬季气温冷暖反转过程年际变率强度的非对称特征，并  
406 研究了造成这一现象的大气环流特征和外强迫因子，主要结论如下：

407 (1) 东亚地区冬季气温冷暖反转模态的年际变率强度具有明显的非对称性。  
408 在“暖转冷”（“冷转暖”）过程中，前冬青藏高原气温异常偏低（高）、亚洲  
409 北部地区气温异常偏高（低），后冬东亚气温整体异常偏低（高），其中心位于  
410 东亚南部地区。但“暖转冷”过程的年际变率强度明显强于“冷转暖”过程。

411 (2) 大气环流异常在东亚冬季气温冷暖反转模态正、负位相之间的差异明  
412 显。在正位相年，西伯利亚高压和 EATL/WRUS 遥相关位相的相互作用是影响东  
413 亚冬季气温“暖转冷”过程的关键环流（图 15a 和图 15b）；在负位相年，北极  
414 极涡和西伯利亚高压的耦合联动则是造成东亚冬季气温“冷转暖”过程的环流载  
415 体（图 15c 和图 15d）。

416 (3) 东亚冬季气温冷暖反转不同位相对应的大气下垫面外强迫异常存在显  
417 著差别。在正位相年，热带中、东太平洋海温异常表现出典型的 La Niña 特征，  
418 北大西洋和热带印度洋海温异常在前、后冬发生季节内变化，伴随着  
419 EATL/WRUS 遥相关位相调整和西伯利亚高压强度反转，引起东亚冬季“暖转冷”  
420 过程；在负位相年，随着前冬 BKS 海冰异常偏少到后冬转变为异常偏多，北极  
421 极涡和西伯利亚高压强度发生季节内反转，“暖北极-冷欧亚”型气候异常格局向  
422 “冷北极-暖欧亚”型调整，导致东亚冬季发生“冷转暖”过程。



423

424 图 15 正位相前年冬 (a) 和后冬 (b) 东大西洋/西俄罗斯 (EATL/WRUS) 型遥相关与西伯利亚高压

425 (SH) 关系的物理图像, “+”、“-” 分别表示位势高度正、负异常, “SH+”、“SH-” 分别表示西伯

426 利亚高压增强、减弱。负位相前年冬 (c) 和后冬 (d) 北极极涡 (NPV) 与西伯利亚高压 (SH) 关系的

427 物理图像, “NPV+”、“NPV-” 分别表示北极极涡增强、减弱。阴影区表示 1500 米以上地形高度。

428 Fig.15 Physical images of East Atlantic/West Russia (EATL/WRUS) telecorrelation in relation to Siberian High

429 (SH) in the positive phase years of the pre-winter (a) and post-winter (b), “+” and “-” indicate positive and

430 negative anomalies in potential heights, and “SH+” and “SH-” denote the strengthening and weakening of the

431 Siberian High. Physical images of Arctic polar vortex (NPV) in relation to Siberian High (SH) in the negative

432 phase years of the pre-winter (c) and post-winter (d), “NPV+” and “NPV-” denote the strengthening and

433 weakening of Arctic polar vortex. Shading indicates the topography above 1500 m.

434 与已有研究相比 (韦玮等, 2014, 2020; 祁莉和泮琬楠, 2021), 本文强调

435 了“冷转暖”和“暖转冷”过程年际变率强度的非对称性, 及其相关大气环流关

436 键因子和大气下垫面外强迫的差异性, 说明东亚冬季气温月际波动过程的气候预

437 测需要考虑不同的物理过程和影响因素, 为提高东亚冬季气温预测水平提供了线

438 素。由于“暖转冷”过程和热带海温的联系更为紧密, 对应更强的年际变率和更

439 高的动力预测技巧，这与业务实践的直观感受一致。而“冷转暖”过程和北极海  
440 冰有关，由于“暖北极-冷欧亚”联系的不确定性较大 (Wu et al., 2022; 武炳义,  
441 2024)，其年际变率动力预测的不确定性也更高。但决定何种大气下垫面外强迫  
442 起主导作用的因素还有待进一步研究。虽然已有很多研究使用数值模拟验证了  
443 La Niña 型海温和北极海冰影响东亚冬季气温的物理过程和机制 (Zhang et al.,  
444 2019; Wu and Zhang, 2010)，但仍缺乏对大气下垫面外强迫影响东亚冬季风季  
445 节内瞬变过程的数值试验，制约了东亚冬季气候的次季节预测时效。因此，后续  
446 工作将通过敏感性数值试验和 WMO S2S 多模式回报试验，深入研究不同大气下  
447 垫面外强迫对东亚冬季气温次季节变化的影响机制。

#### 448 参考文献 (References)

- 449 Adler R F, Sapiano M R P, Huffman G J, et al. 2018. The Global Precipitation Climatology Project (GPCP) Monthly  
450 Analysis (New Version 2.3) and a Review of 2017 Global Precipitation. *Atmosphere* 9. doi:  
451 10.3390/atmos9040138.
- 452 Alexander M A, Bhatt U S, Walsh J E, et al. 2004. The atmospheric response to realistic arctic sea ice anomalies in  
453 an AGCM during winter [J]. *J. Climate*, 17(5): 890–905. doi:10.1175/1520-  
454 0442(2004)017<0890:TARTRA>2.0.CO;2.
- 455 Barnston A G, Livezey R E. 1987. Classification, seasonality and persistence of low-frequency atmospheric  
456 circulation patterns [J]. *Mon. Wea. Rev.*, 115 (6): 1083–1126. doi: 10.1175/1520-  
457 0493(1987)115<1083:CSAPOL>2.0.CO;2.
- 458 Casson N J, Contosta A R, Burakowski E A, et al. 2019. Winter Weather Whiplash: Impacts of Meteorological Events  
459 Misaligned With Natural and Human Systems in Seasonally Snow-Covered Regions. *Earth's Future* 7, 1434–50.  
460 doi: 10.1029/2019EF001224.
- 461 Chen S F, Wu R G, Song L Y, et al. 2019. Interannual variability of surface air temperature over mid-high latitudes  
462 of Eurasia during boreal autumn[J]. *Climate Dynamics*, 53(3/4): 1805–1821.doi:10.1007/s00382-019-04738-  
463 9.
- 464 陈文. 2002. El Niño 和 La Niña 事件对东亚冬、夏季风循环的影响[J]. *大气科学*, 26(5): 595–610. Chen Wen.  
465 2022. Impacts of El Niño and La Niña on the Cycle of the East Asian Winter and Summer Monsoon[J]. *Chinese*

- 466 Journal of Atmospheric Sciences, 26(5): 595–610. doi: 10.3878/j.issn.1006-9895.2002.05.02.
- 467 Cheung H H N, Zhou W. 2015. Implications of Ural Blocking for East Asian Winter Climate in CMIP5 GCMs. Part  
468 I: Biases in the Historical Scenario. Journal of Climate 28, 2203–16. doi: 10.1175/JCLI-D-14-00308.1.
- 469 Cohen J, Barlow M, Kushner P J, et al. 2007. Stratosphere-Troposphere Coupling and Links with Eurasian Land  
470 Surface Variability. Journal of Climate 20, 5335–43. doi: 10.1175/2007JCLI1725.1.
- 471 Curtis S, Fair A, Wistow J, et al. 2017. Impact of extreme weather events and climate change for health and social  
472 care systems. Environmental Health 16, 128. doi: 10.1186/s12940-017-0324-3.
- 473 Dai H X, Fan K, Liu J P. 2019. Month-to-Month Variability of Winter Temperature over Northeast China Linked to  
474 Sea Ice over the Davis Strait-Baffin Bay and the Barents-Kara Sea. Journal of Climate 32, 6365–84. doi:  
475 /10.1175/JCLI-D-18-0804.1.
- 476 Ding Y H, Jia X L, Wang Z Y, et al. 2009. A contrasting study of freezing disasters in January 2008 and in winter of  
477 1954/1955 in China. Frontiers of Earth Science in China 3, 129–45. doi: 10.1007/s11707-009-0028-2.
- 478 Gao T, Yu J Y, Paek H, et al. 2017. Impacts of four northern-hemisphere teleconnection patterns on atmospheric  
479 circulations over Eurasia and the Pacific. Theoretical and Applied Climatology 129(3): 815–831. doi:  
480 10.1007/s00704-016-1801-2.
- 481 Hersbach H, Bell B, Berrisford P, et al. 2023. ERA5 monthly averaged data on pressure levels from 1940 to present.  
482 Copernicus Climate Change Service (C3S) Climate Data Store (CDS). doi: 10.24381/cds.6860a573.
- 483 Huang B Y, Thorne P W, Banzon V F, et al. 2017. NOAA Extended Reconstructed Sea Surface Temperature (ERSST),  
484 Version 5. [indicate subset used]. NOAA National Centers for Environmental Information.  
485 doi:10.7289/V5T72FNM.
- 486 IPCC V. Masson-Delmotte, P. Zhai, A. Pirani, et al. 2021. Climate Change 2021: The Physical Science Basis.  
487 Contribution of Working Group I to the Sixth Assessment Report of the Intergovernmental Panel on Climate  
488 Change, Cambridge University Press, Cambridge, United Kingdom and New York, NY, USA.  
489 doi:10.1017/9781009157896.001.
- 490 康丽华, 陈文, 魏科. 2006. 我国冬季气温年代际变化及其与大气环流异常变化的关系 [J]. 气候与环境研究,  
491 11(3): 330–339. Kang Lihua, Chen Wen, Wei Ke. 2006. The interdecadal variation of winter temperature in  
492 China and its relation to the anomalies in atmospheric general circulation [J]. Climatic and Environmental  
493 Research (in Chinese), 11(3): 330–339. doi: 10.3969/j.issn.1006-9585.2006.03.009.
- 494 Kolstad E W, Breiteig T, Scaife A A, et al. 2010. The association between stratospheric weak polar vortex events and  
495 cold air outbreaks in the Northern Hemisphere. Q.J.R. Meteorol. Soc., 136: 886–893. doi: 10.1002/qj.620.

- 496 Li M Y, Luo D H, Simmonds I, et al. 2021. Anchoring of atmospheric teleconnection patterns by Arctic Sea ice loss  
497 and its link to winter cold anomalies in East Asia. International Journal of Climatology 41, 547–58. doi:  
498 10.1002/joc.6637.
- 499 李勇, 何金海, 姜爱军, 等. 2007. 冬季西太平洋遥相关型的环流结构特征及其与我国冬季气温和降水的关  
500 系[J]. 气象科学, (第 2 期): 119–125. Li Yong, He Jinhai, Jiang Aijun, et al. 2007. Circulation Structure  
501 Features of Western Pacific Teleconnection Pattern in Winter and their Relation with China's Temperature and  
502 Precipitation in Winter. Journal of the Meteorological Sciences, (2): 119–125. doi: 10.3969/2012jms.00\*\*.
- 503 李忠贤, 黄源源, 王健治. 2023. 春季东大西洋/西俄罗斯遥相关型异常与我国气温异常的联系[J]. 大气科学  
504 学报, 46(6):876–883. Li Zhongxian, Huang Yuanyuan, Wang Jianzhi. 2023 Variation characteristics of spring  
505 East Atlantic/West Russia teleconnection pattern and its relationship with temperature anomalies in China[J].  
506 Chinese Journal of Atmospheric Sciences, 46(6): 876–883. doi: 10.13878/j.cnki.dqkxxb.20210818001.
- 507 刘毓赟, 王林. 2014. 冬季斯堪的纳维亚遥相关型在 20 世纪 70 年代末的年代际变化[J]. 气候与环境研究,  
508 19(3):371–382. Liu Y Y, Wang L. 2014. Interdecadal changes of Scandinavian teleconnection pattern in the late  
509 1970s[J]. Climatic Environmental Research, 19(3): 371–382. doi:10.3878/j.issn.1006-9585.2013.13052.(in  
510 Chinese).
- 511 Liu Y Y, Wang L, Zhou W, et al. 2014. Three Eurasian teleconnection patterns: spatial structures, temporal variability,  
512 and associated winter climate anomalies. Climate Dynamics 42(11): 2817–2839. doi: 10.1007/s00382-014-  
513 2163-z.
- 514 马锋敏, 陈丽娟, 李想, 等. 2022. 中国冬季气温不同年代际的季节内变化特征及成因分析[J]. 大气科学,  
515 46(3): 573–589. Ma Fengmin, Chen Lijuan, Li Xiang, et al. 2022. Characteristics and Causes of Intraseasonal  
516 Variation of Winter Temperature in China under Different Interdecadal Scale [J]. Chinese Journal of  
517 Atmospheric Sciences (in Chinese), 46(3): 573–589. doi: 10.3878/j.issn.1006-9895.2110.21027.
- 518 Ma S M, Zhu C W. 2019. Extreme Cold Wave over East Asia in January 2016: A Possible Response to the Larger  
519 Internal Atmospheric Variability Induced by Arctic Warming. Journal of Climate 32, 1203–16. doi:  
520 10.1175/JCLI-D-18-0234.1.
- 521 Ma S M, Zhu C W, Liu B Q, et al. 2018. Polarized response of East Asian winter temperature extremes in the era of  
522 Arctic warming. Journal of Climate 31, 5543–57. doi: 10.1175/JCLI-D-17-0463.1.
- 523 Mu M, Luo D H, Zheng F. 2022. Preface to the Special Issue on Extreme Cold Events from East Asia to North  
524 America in Winter 2020/21. Advances in Atmospheric Sciences 39, 543–5. doi: 10.1007/s00376-021-1004-3.
- 525 Nakamura T, Yamazaki K, Iwamoto K, et al. 2015. A negative phase shift of the winter AO/NAO due to the recent

- 526 Arctic sea-ice reduction in late autumn [J]. *J. Geophys. Res.*, 120(8): 3209–3227. doi:10.1002/2014JD022848.
- 527 North G R, Bell T L, Cahalan R F, et al. 1982. Sampling Errors in the Estimation of Empirical Orthogonal Functions.
- 528 *Monthly Weather Review* 110, 699–706. doi: 10.1175/1520-0493(1982)110<0699:SEITEO>2.0.CO;2.
- 529 Orsolini Y J, Senan R, Balsamo G, et al. 2013. Impact of snow initialization on sub-seasonal forecasts. *Climate*
- 530 *Dynamics* 41, 1969–82. doi: 10.1007/s00382-013-1782-0.
- 531 Orsolini Y J, Senan R, Benestad R E, et al. 2012. Autumn atmospheric response to the 2007 low Arctic sea ice extent
- 532 in coupled ocean–atmosphere hindcasts. *Climate Dynamics* 38, 2437–48. doi: 10.1007/s00382-011-1169-z.
- 533 祁莉, 洪婉楠. 2021. 东亚气温前冬与后冬反相的变化特征及可能影响因子. *大气科学*. 45, 1039. Qi Li, Pan
- 534 Wannan. 2021. Variability of the Phase Reversal of the East Asia Temperature from Early to Late Winter and
- 535 the Possible Influencing Factors [J]. *Chinese Journal of Atmospheric Sciences (in Chinese)*, 45(5): 1039–1056.
- 536 doi: 10.3878/j.issn.1006-9895.2011.20181.
- 537 Song L, Chen S, Chen W, et al. 2022. Distinct evolutions of haze pollution from winter to the following spring over
- 538 the North China Plain: role of the North Atlantic sea surface temperature anomalies. *Atmospheric Chemistry*
- 539 and Physics 22, 1669–88. doi: 10.5194/acp-22-1669-2022.
- 540 Student. 1992. The Probable Error of a Mean. In: Kotz, S., Johnson, N.L. (eds) *Breakthroughs in Statistics*. Springer
- 541 Series in Statistics. Springer, New York, NY. doi: 10.1007/978-1-4612-4380-9\_4.
- 542 Wallace J M, Gutzler D S. 1981. Teleconnections in the Geopotential Height Field during the Northern Hemisphere
- 543 Winter. *Monthly Weather Review* 109(4): 784–812. doi: 10.1175/1520-
- 544 0493(1981)109<0784:TITGHF>2.0.CO;2.
- 545 Wang B, An S I. 2005. A method for detecting season-dependent modes of climate variability: S-EOF analysis,
- 546 *Geophysical research letters* 32, L15710. doi:10.1029/2005GL022709.
- 547 Wang B, Wu R G, Fu X H. 2000. Pacific–East Asian Teleconnection: How Does ENSO Affect East Asian Climate?
- 548 *Journal of Climate* 13, 1517–36. doi: 10.1175/1520-0442(2000)013<1517:PEATHD>2.0.CO;2.
- 549 Wang B, Wu Z W, Chang C P, et al. 2010. Another Look at Interannual-to-Interdecadal Variations of the East Asian
- 550 Winter Monsoon: The Northern and Southern Temperature Modes. *Journal of Climate* 23, 1495–512. doi:
- 551 10.1175/2009JCLI3243.1.
- 552 Wang L, Chen W. 2014. The East Asian winter monsoon: re-amplification in the mid-2000s. *Chinese Science*
- 553 *Bulletin* 59, 430–6. doi: 10.1007/s11434-013-0029-0.
- 554 Wang L, Huang R H, Gu L, et al. 2009. Interdecadal Variations of the East Asian Winter Monsoon and Their
- 555 Association with Quasi-Stationary Planetary Wave Activity. *Journal of Climate* 22(18): 4860–4872. doi:

- 556 10.1175/2009JCLI2973.1.
- 557 Wang L, Lu M M. 2017. The East Asian Winter Monsoon. The Global Monsoon System, World Scientific. Volume  
558 9: 51–61. doi: 10.1142/9789813200913\_0005.
- 559 Wang L, Zheng C, Liu Y Y. 2021. Understanding the East Asian winter monsoon in 2018 from the intraseasonal  
560 perspective. Climate Dynamics, 57(7): 2053–2062. doi: 10.1007/s00382-021-05793-x.
- 561 Wang X, Wang C Z, Zhou W, et al. 2011. Teleconnected influence of North Atlantic Sea surface temperature on the  
562 El Niño onset[J]. Climate Dynamics, 37(3/4): 663–676. doi: 10.1007/s00382-010-0833-z.
- 563 韦玮, 王林, 陈权亮, 等. 2014. 我国前冬和后冬气温年际变化的特征与联系. 大气科学, 38(3): 524–536. Wei  
564 Wei, Wang Lin, Chen Quanliang, Liu Yuyun. 2014. Interannual Variations of Early and Late Winter  
565 Temperatures in China and Their Linkage. Chinese Journal of Atmospheric Sciences, 38(3): 524–536. doi:  
566 10.3878/j.issn.1006-9895.1401.13320.
- 567 韦玮, 王林, 陈权亮, 等. 2020. 我国前冬和后冬的划分及其气温的年际变异. 大气科学, 44(1): 122–137. Wei  
568 Wei, Wang Lin, Chen Quanliang, Liu Yuyun, Li Zhen. 2020. Definition of Early and Late Winter and Associated  
569 Interannual Variations of Surface Air Temperature in China. Chinese Journal of Atmospheric Sciences, 44(1):  
570 122–137. doi: 10.3878/j.issn.1006-9895.1904.18238.
- 571 Wen M, Yang S, Kumar A, et al. 2009. An Analysis of the Large-Scale Climate Anomalies Associated with the  
572 Snowstorms Affecting China in January 2008. Monthly Weather Review 137, 1111–31. doi:  
573 10.1175/2008MWR2638.1.
- 574 武炳义. 2018. 北极海冰融化影响东亚冬季天气和气候的研究进展以及学术争论焦点问题. 大气科学, 42(4):  
575 786–805. Wu Bingyi. 2018. Progresses in the Impact Study of Arctic Sea Ice Loss on Wintertime Weather and  
576 Climate Variability over East Asia and Key Academic Disputes. Chinese Journal of Atmospheric Sciences (in  
577 Chinese), 42(4): 786–805, doi:10.3878/j.issn.1006-9895.1804.17262.
- 578 武炳义. 2024. 北极—中纬度联系与北极海冰变化的关系研究新进展[J]. 大气科学, 48(1): 108–120. Wu  
579 Bingyi. 2024. Recent Progresses in the Study of the Arctic–Midlatitude Connection and Its Association with  
580 Arctic Sea Ice Loss [J]. Chinese Journal of Atmospheric Sciences (in Chinese), 48(1): 108–120. doi:  
581 10.3878/j.issn.1006-9895.2309.23305.
- 582 Wu B Y, Li Z K, Francis J A, et al. 2022. A recent weakening of winter temperature association between Arctic and  
583 Asia. Environmental Research Letters, 17(3): 034030. doi: 10.1088/1748-9326/ac4b51.
- 584 Wu R G, Chen S F. 2020. What Leads to Persisting Surface Air Temperature Anomalies from Winter to Following  
585 Spring over Mid- to High-Latitude Eurasia? Journal of Climate 33, 5861–83. doi: 10.1175/JCLI-D-19-0819.1.

- 586 Wu Q G, Zhang X D. 2010. Observed forcing-feedback processes between Northern Hemisphere atmospheric  
587 circulation and Arctic sea ice coverage. *Journal of Geophysical Research* 115: D14119.  
588 doi:10.1029/2009JD013574.
- 589 Xu X P, Li F, He S P, et al. 2018. Subseasonal Reversal of East Asian Surface Temperature Variability in Winter  
590 2014/15. *Advances in Atmospheric Sciences* 35, 737–52. doi: 10.1007/s00376-017-7059-5.
- 591 Yin Z C, Zhang Y J, Zhou B T, et al. 2023. Subseasonal variability and the “Arctic warming-Eurasia cooling” trend.  
592 *Science Bulletin* 68, 528–35. doi: 10.1016/j.scib.2023.02.009.
- 593 袁媛, 李崇银, 杨崧. 2014. 与厄尔尼诺和拉尼娜相联系的中国南方冬季降水的年代际异常特征. *气象学报*  
594 (2): 237–255. Yuan Yuan, Li Chongyin, Yang Song. 2014. Decadal anomalies of winter precipitation over  
595 southern China in association with El Niño and La Niña. *Acta Meteorologica Sinica*, (2): 237–255. doi:  
596 10.11676/qxxb2014.014.
- 597 Yun J, Ha K J, Jo Y H. 2018. Interdecadal changes in winter surface air temperature over East Asia and their possible  
598 causes. *Climate Dynamics* 51, 1375–90. doi: 10.1007/s00382-017-3960-y.
- 599 Zhang P, Wu Z W, Li J P. 2019. Reexamining the relationship of La Niña and the East Asian Winter Monsoon.  
600 *Climate Dynamics* 53(1): 779–791. doi: 10.1007/s00382-019-04613-7.
- 601 Zhang P, Wu Z W, Li J P, et al. 2020. Seasonal prediction of the northern and southern temperature modes of the  
602 East Asian winter monsoon: the importance of the Arctic sea ice. *Climate Dynamics* 54, 3583–3597.  
603 doi:10.1007/s00382-020-05182-w.
- 604 Zhang Y J, Yin Z C, Song X L, et al. 2024. Subtropical SST improved the understanding of the subseasonal reversal  
605 of surface air temperature in winter over the mid-high latitudes of Asia. *Atmospheric Research* 299, 107208.  
606 doi: 10.1016/j.atmosres.2023.107208.
- 607 Zhang Y J, Yin Z C, Wang H J. 2023. Subseasonal transition of Barents–Kara sea-ice anomalies in winter related to  
608 the reversed warm Arctic–cold Eurasia pattern. *Atmospheric and Oceanic Science Letters* 16, 100392. doi:  
609 10.1016/j.aosl.2023.100392.
- 610 Zheng F, Yuan Y, Ding Y H, et al. 2022. The 2020/21 Extremely Cold Winter in China Influenced by the Synergistic  
611 Effect of La Niña and Warm Arctic. *Advances in Atmospheric Sciences* 39, 546–52. doi: 10.1007/s00376-021-  
612 1033-y.
- 613 Zhong W G, Wu Z W. 2022. Subseasonal variations of Eurasian wintertime surface air temperature: two distinct  
614 leading modes. *Climate Dynamics* 59(1): 85–108. doi: 10.1007/s00382-021-06118-8.
- 615 Zhong W G, Wu Z W. 2023. Subseasonal strength reversal of the East Asian winter monsoon. *Climate Dynamics*

- 616 61(1), 709–727. doi: 10.1007/s00382-022-06610-9.
- 617 Zhong W G, Wu Z W. 2024. Impact of stratospheric variability on subseasonal temperature reversals during late  
618 winter over the mid-high latitudes of East Asia. Atmospheric Research 297: 107115. doi:  
619 10.1016/j.atmosres.2023.107115.
- 620 Zuo J Q, Ren H L, Wu B Y, et al. 2016. Predictability of winter temperature in China from previous autumn Arctic  
621 sea ice. Climate Dynamics 47, 2331–2343. doi:10.1007/s00382-015-2966-6.

寒

科

学

寒

寒

科

学

刊

寒

寒